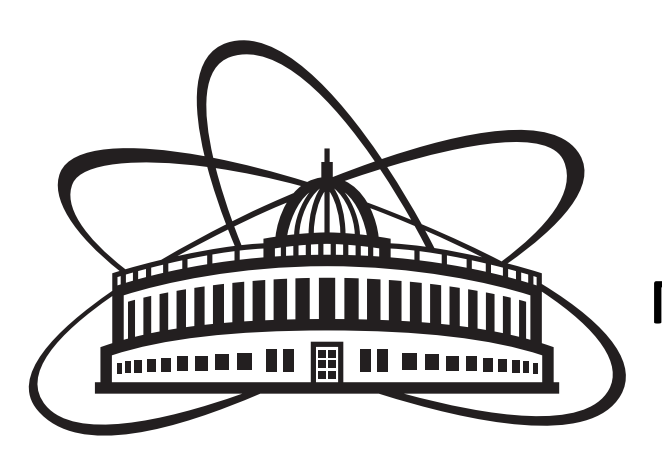




Стандартная модель

И немного квантовой теории поля

Александр Бедняков, ОИЯИ



Байкальская школа по физике частиц и астрофизике 2023





План лекций

Лекция 1

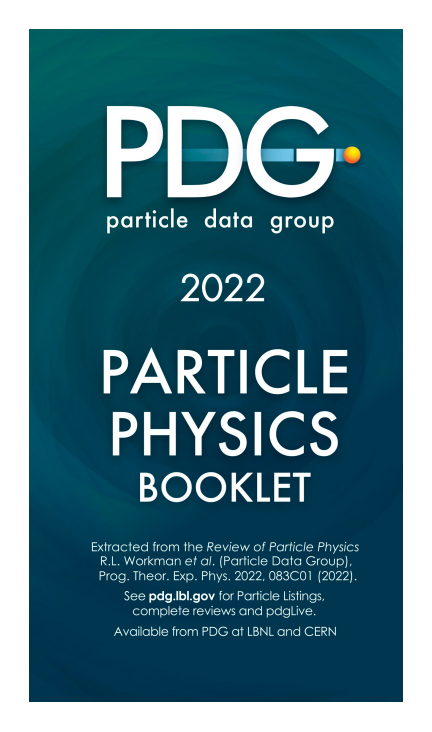
- Что такое Стандартная модель (СМ)?
- Кратко о Квантовой Теории Поля (КТП:)
 - Поля и/или частицы?
 - А что с взаимодействиями?
 - Фундаментальные или эффективные?







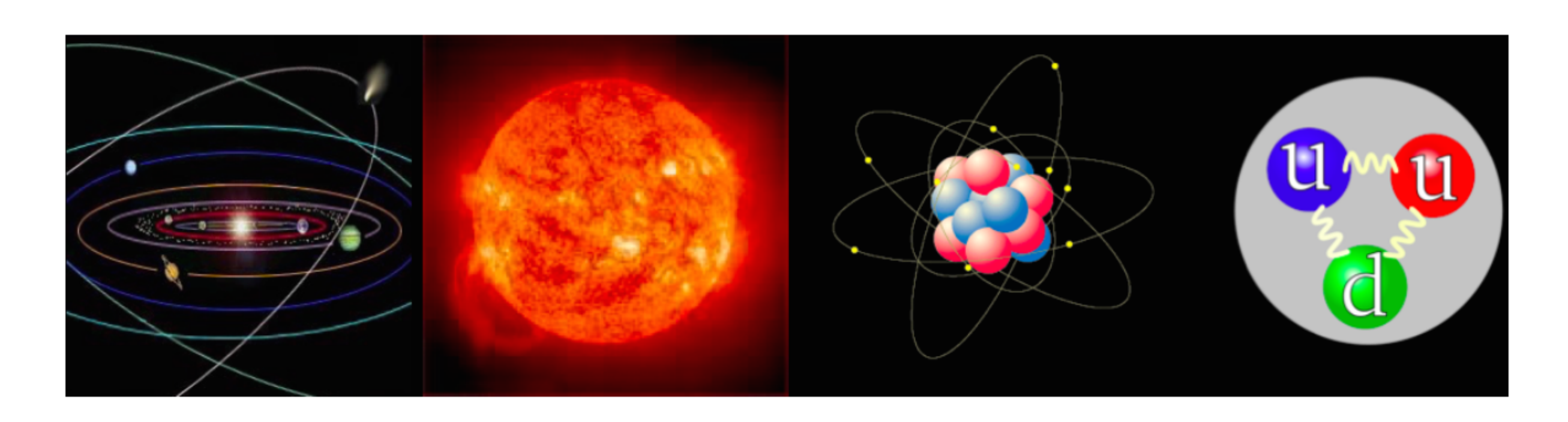
Android App



Лекция 2

- Что мы знаем о сильных, слабых и электромагнитных взаимодействиях?
- Зачем нам поле/бозон Хиггса?
- Что предсказывает СМ и как это проверяют?
- Зачем же все ищут Новую физику?

Что мы знаем о взаимодействиях?



Гравитация



Слабое



Электромагнитное



Сильное

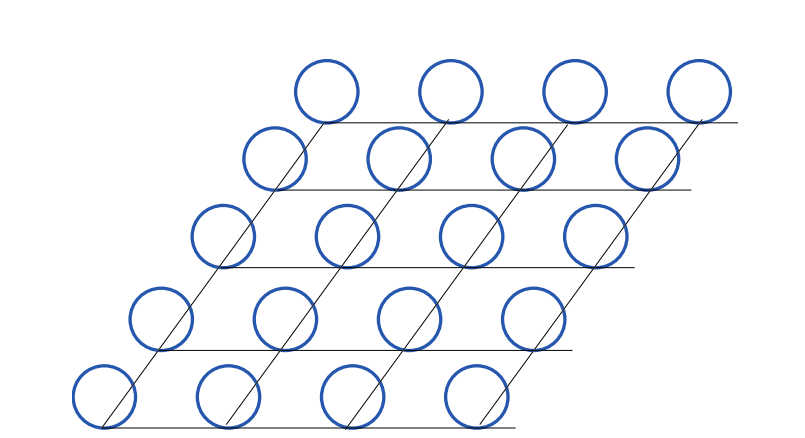


Принцип калибровочной инвариантности

• Рассмотрим Дираковский лагранжиан

$$\mathscr{L}_0^{\psi} = \bar{\psi}(i\hat{\partial} - m)\psi$$

инвариантный относительно глобальных U(1):



$$\psi \rightarrow \psi' = e^{ie\omega}\psi, \quad \bar{\psi} \rightarrow \bar{\psi}' = \bar{\psi}e^{-ie\omega}$$

• Сделаем преобразование локальным $\omega \to \omega(x)$

$$\delta\mathscr{L}_0^\psi=\partial_\mu\omega\cdot J_\mu$$
, где $J_\mu=-\,ear\psi\gamma_\mu\psi$ - нётеровский ток

ullet Для сокращения $\delta {\mathscr L}_0$ добавим взаимодействие J_μ с полем A_μ

$$\mathcal{L}_{0}^{\psi} \to \mathcal{L}^{\psi} = \mathcal{L}_{0}^{\psi} + A_{\mu}J_{\mu} = \bar{\psi}[i(\hat{\partial} + ieA_{\mu}) - m]\psi = \bar{\psi}(i\hat{D} - m)\psi$$

причем $A_{\mu}
ightarrow A_{\mu}' = A_{\mu} - \partial_{\mu} \omega$

Локальная (=калибровочная) симметрия → взаимодействие производная

Калибровочные бозоны и их массы

• Преобразование

$$A_{\mu} \rightarrow A'_{\mu} = A_{\mu} - \partial_{\mu}\omega$$



оставляет инвариантным свободный лагранжиан для фотона:

$$\mathscr{L}^{A} = -\frac{1}{4}F_{\mu\nu}F_{\mu\nu}, \quad F_{\mu\nu} = \partial_{\mu}A_{\nu} - \partial_{\nu}A_{\mu},$$

но не дает включить в \mathscr{L}_0 слагаемое вида $m^2A_\mu A_\mu$, гарантируя, что фотон, U(1)-калибровочный бозон, безмассовый!

• Количество физических степеней свободы уменьшается до двух поперечных поляризаций, продольная поляризация $\epsilon_{\mu}^{L} \propto p_{\mu}$ "выпадает" из наблюдаемых благодаря

 $\epsilon_{\mu}^L J_{\mu} \propto p_{\mu} J_{\mu} = 0$ - "нет источника для продольного фотона"

$$\frac{i}{p^2 + i\epsilon} \cdot \left(-g_{\mu\nu} + (1 - \xi) \frac{p_{\mu}p_{\nu}}{p^2} \right) \qquad \underset{\longleftarrow}{\stackrel{\mu}{\longrightarrow}} \stackrel{p}{\longrightarrow} \nu$$

от ξ наблюдаемые не зависят

Электромагнитное

Слабое





КЭД!

Теория Ферми: предвестник СМ

ullet Неперенормируемая модель eta - распада: $n o p + e^- + ar{
u}_e$

$$\mathcal{L}_{\text{Fermi}} = \frac{G_F}{2\sqrt{2}} \left(J_{\mu}^+ J_{\mu}^- + \text{h.c.} \right)$$

$$[G_F] = -2$$

$$J_{\mu}^- = \bar{\Psi}_n \gamma_{\mu} \Psi_p + \bar{\Psi}_e \gamma_{\mu} \Psi_{\nu} + \dots$$

• Это же взаимодействие должно описывать рассеяние $\nu_e e^- o \nu_e e^-$ Из размерных соображений сечение

$$\sigma(\nu_e e^- \to \nu_e e^-) \propto G_F^2 s$$
, $s = (p_e + p_\nu)^2$

неограниченно растет с энергией ⇒ нарушение унитарности

ullet В районе $G_F^{-1/2} \sim 10^2 - 10^3$ ГэВ ожидаем "Новую физику"!

$$\mathcal{L}_{\text{Fermi}} = \frac{G_F}{2\sqrt{2}} \left(J_{\mu}^{+} J_{\mu}^{-} + \text{h.c.} \right)$$

$$\rightarrow -\frac{g_W}{2\sqrt{2}} (W_{\mu}^{+} J_{\mu}^{-} + \text{h.c.})$$

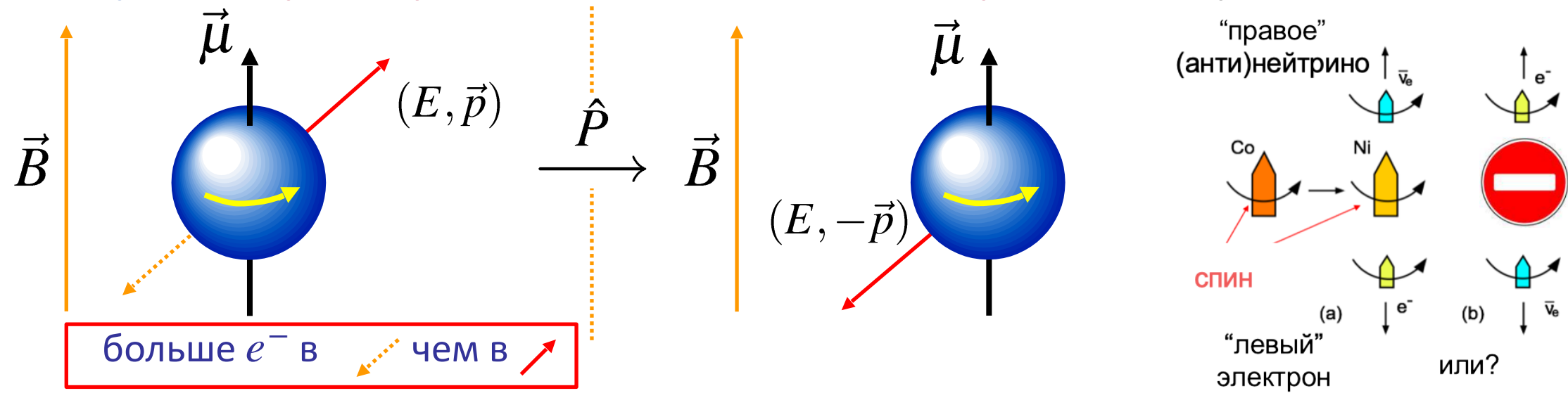
Нарушение четности в β-распаде

•Оператор \hat{P} соответствует дискретному преобразованию, x o - x

1956: мадам Ву изучала бета распад поляризованных ядер кобальта-60

$$^{60}\text{Co} \rightarrow ^{60} Ni^* + e^- + \overline{\nu}_e$$
 [$d \rightarrow u + e^- + \overline{\nu}_e$]

• Электроны преимущественно вылетали против направления поля



Нарушение четности в В-распаде

•Оператор \hat{P} соответствует дискретному преобразованию, x o - x

Полярные векторы меняют знак Аксиальные векторы не меняются

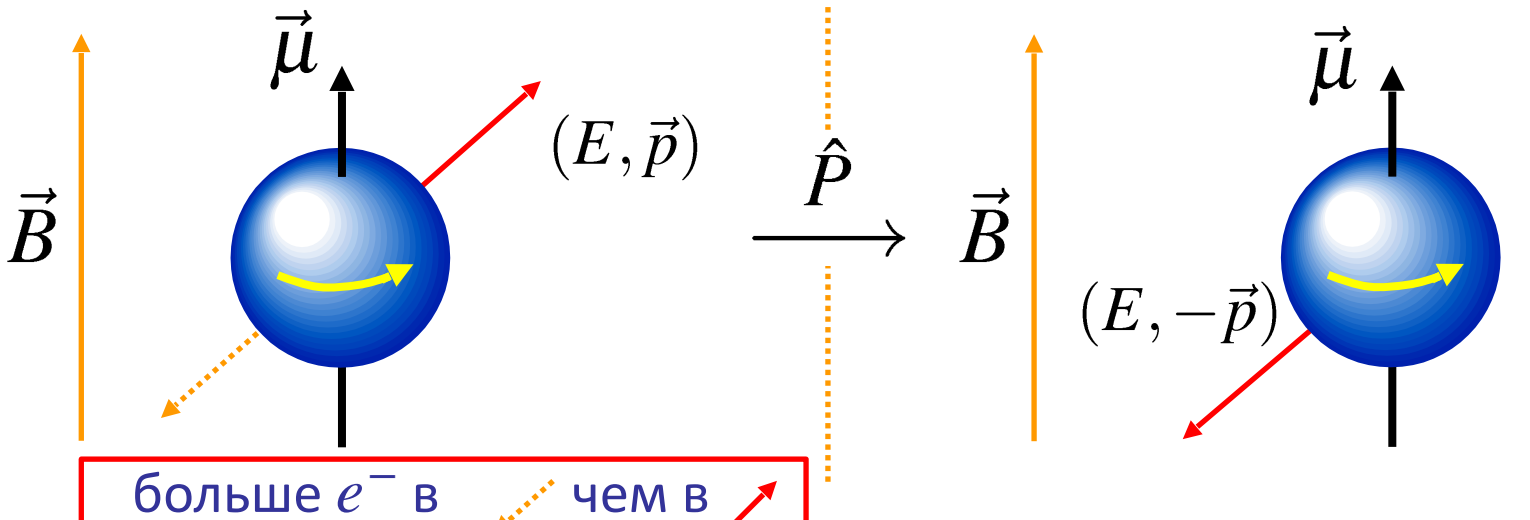
$$\{ \vec{r} \stackrel{\hat{P}}{\longrightarrow} -\vec{r} \ \vec{p} \stackrel{\hat{P}}{\longrightarrow} -\vec{p} \ (p_x = \frac{\partial}{\partial x}, \ etc.) \ \{ \vec{L} \stackrel{\hat{P}}{\longrightarrow} \vec{L} \ (\vec{L} = \vec{r} \wedge \vec{p}) \ \vec{d}\vec{B} \propto \vec{J} \wedge \vec{r} \, d^3\vec{r} \ \vec{\mu} \stackrel{\hat{P}}{\longrightarrow} \vec{\mu} \ (\vec{\mu} \propto \vec{L}) \}$$

1956: мадам Ву изучала бета распад поляризованных ядер кобальта-60

$$^{60}\text{Co} \rightarrow ^{60} Ni^* + e^- + \overline{\nu}_e$$
 [$d \rightarrow u + e^- + \overline{\nu}_e$]

$$[d \to u + e^- + \bar{\nu}_e]$$

• Электроны преимущественно вылетали против направления поля



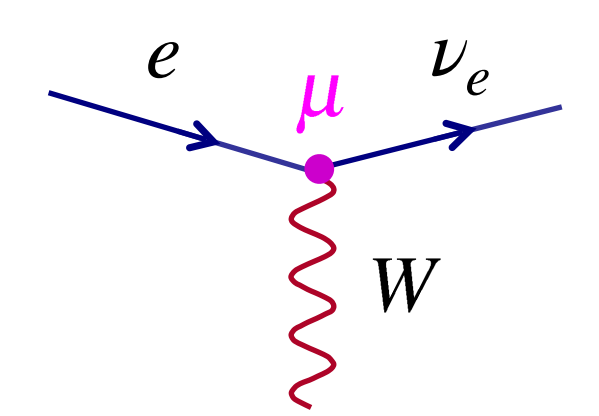
В случае сохранения четности ожидалось равное количество электронов, вылетающих вдоль и против направления магнитного поля

•В отличие от сильных, электромагнитных взаимодействий, гравитации слабые взаимодействия нарушают четность!

V-A форма слабых взаимодйествий



- Общая форма взаимодействия за счет обмена частицей спина 1 представляет собой комбинацию ВЕКТОРА и АКСИАЛЬНОГО ВЕКТОРА
- •Форма слабой вершины определена экспериментально и соответствует "ВЕКТОР минус АКСИАЛ" (V – A)



$$j^{\mu} \propto \overline{u}_{\nu_e} (\gamma^{\mu} - \gamma^{\mu} \gamma^5) u_e$$

V – A

- Как это позволяет описать нарушение четности?
- Рассмотрим действие \hat{P} на векторный и аксиальный токи $\psi o \hat{P} \psi = \gamma_0 \psi$

$$j_V^{\mu} = \bar{\psi}_1 \gamma^{\mu} \psi_2$$

$$j_V^0 \to \bar{\psi}_1 \gamma^0 \gamma^0 \gamma^0 \psi_2 = j_V^0$$

$$j_V^i \to \bar{\psi}_1 \gamma^0 \gamma^i \gamma^0 \psi_2 = -j_V^i$$

$$j_V^\mu j_V^\mu o j_V^\mu j_V^\mu \ j_A^\mu j_A^\mu o j_A^\mu j_A^\mu \ j_V^\mu o -j_A^\mu j_V^\mu \$$

$$j_A^{\mu} = \bar{\psi}_1 \gamma^{\mu} \gamma^5 \psi_2$$

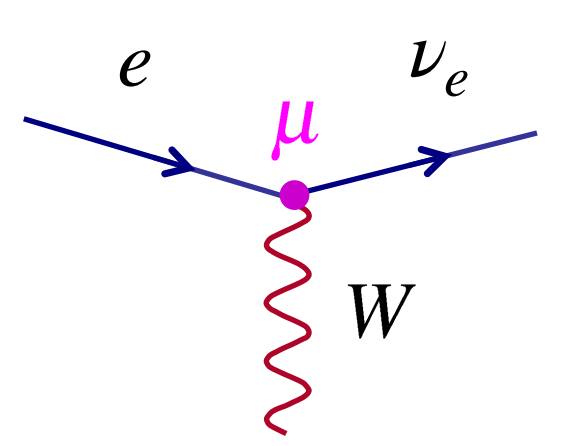
$$j_A^0 \to \bar{\psi}_1 \gamma^0 \gamma^0 \gamma^5 \gamma^0 \psi_2 = -j_A^0$$

$$j_A^i \to \bar{\psi}_1 \gamma^0 \gamma^i \gamma^5 \gamma^0 \psi_2 = j_A^i$$

Спиральная структура слабых взаимодействий

• Вершина, соответствующая обмену заряженным W^{\pm} : $\stackrel{e}{\smile}$ μ

$$\frac{-ig_w}{\sqrt{2}}\frac{1}{2}\gamma^{\mu}(1-\gamma^5)$$



Так как $P_L = (1 - \gamma_5)/2$ выделяет левые киральные спиноры, то

$$\bar{\psi}\frac{1}{2}\gamma_{\mu}(1-\gamma_{5})\phi = \bar{\psi}\gamma_{\mu}P_{L}\phi = \bar{\psi}_{L}\gamma_{\mu}\phi_{L}$$



Только левые киральные спиноры участвуют в слыбых взаимодействиях, меняющих заряд частиц (charged current (CC) взаимодействия)

•В пределе $E \gg m$ левые киральные спиноры соответствуют:

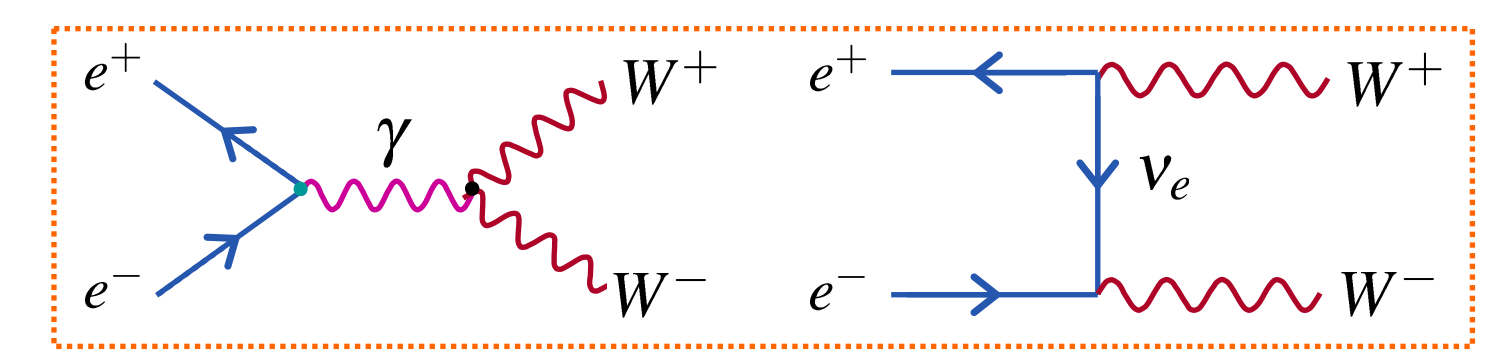
$$\frac{1}{2}(1-\gamma^5)u \implies$$
 Спиральность = -1
 $\frac{1}{2}(1-\gamma^5)v \implies$ Спиральность = +1

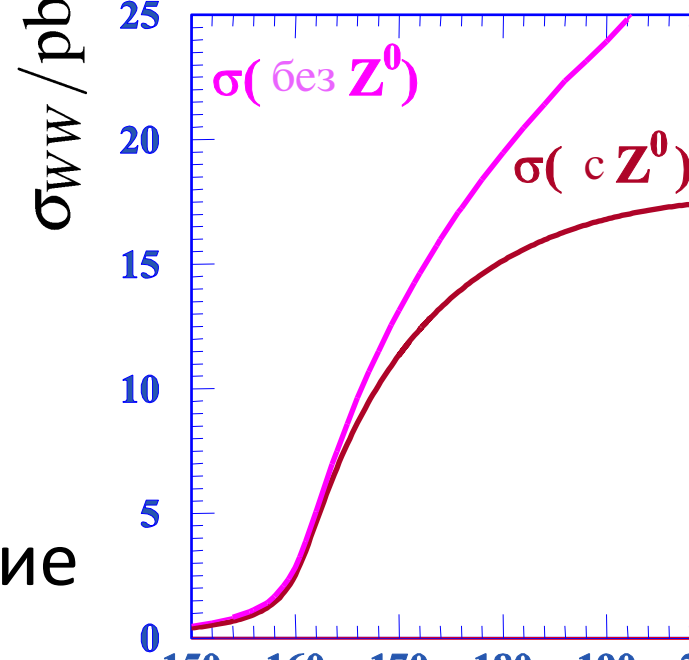
OT W K Z



 \sqrt{s}/GeV

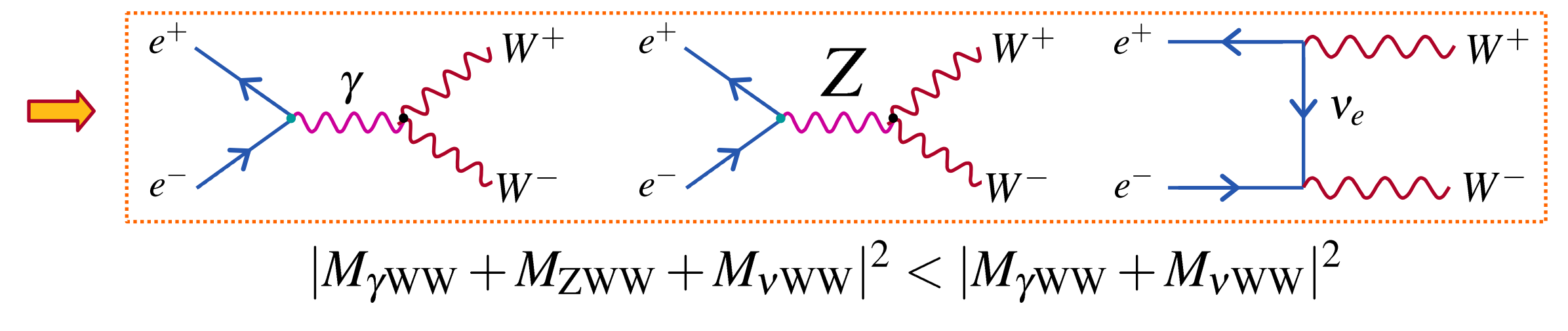
- W[±] бозоны несут электрический заряд
- W $^{\pm}$ бозоны рождаются при аннигиляции $e^{+}e^{-}$





 σ (без Z

- •Если учитывать только эти диаграммы, то сечение растет с ростом энергии, что в конечном итоге приводит к нарушению унитарности!
- Проблему можно "решить", добавив новый (нейтральный) бозон Z. Дополнительная диаграмма приводит к деструктивной интерференции:



• Сокращение работает, если взаимодействия Z, y, W CBЯЗАНЫ!

От КЭД к СМ

• В Стандартной модели сильные, электромагнитные и слабые взаимодействия возникают за счет обмен калибровочными бозонами, соответствующими симметриям

$$SU(3)_c \times SU(2)_L \times U(1)_Y$$

• SU(n) - группа унитарных матриц $n \times n$ с единичным определителем:

$$U^{\dagger}U = UU^{\dagger} = 1$$
, $\det U = 1$

ullet Матрицы U осуществляют преобразования (симметрии) и могут быть представлены в виде

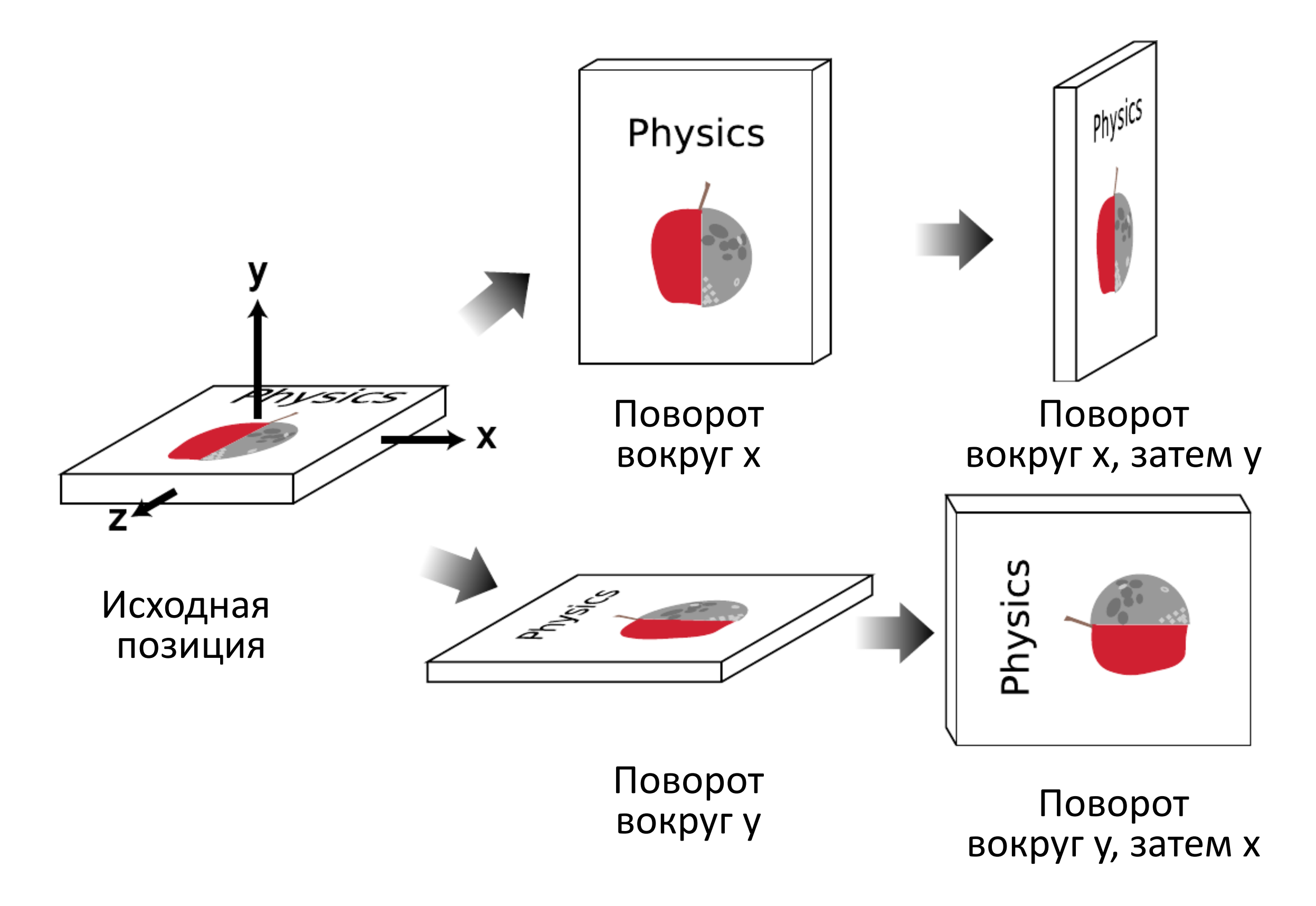
$$U(\omega) = e^{ig\omega^a t^a}, \qquad a = 1, 2, ..., n^2 - 1$$

где t^a - эрмитовы ($t^\dagger = t$) матрицы - генераторы независимых преобразований.

• В отличие от U(1) (абелева группа) SU(n) - неабелева и важен порядок преобразований:

$$[t^a, t^b] = if^{abc}t^c$$
, f^{abc} - структурные константы

Пример неабелевой группы



От КЭД к СМ

• В Стандартной модели сильные, электромагнитные и слабые взаимодействия возникают за счет обмен калибровочными бозонами, соответствующими симметриям

$$SU(3)_c \times SU(2)_L \times U(1)_Y$$

- $\bullet SU(2)$ группа унитарных матриц 2×2 с единичным определителем:
- ullet Матрицы SU(2) могут быть представлены в виде

$$U(\omega) = e^{ig\omega^a T^a}, \qquad a = 1,2,3$$

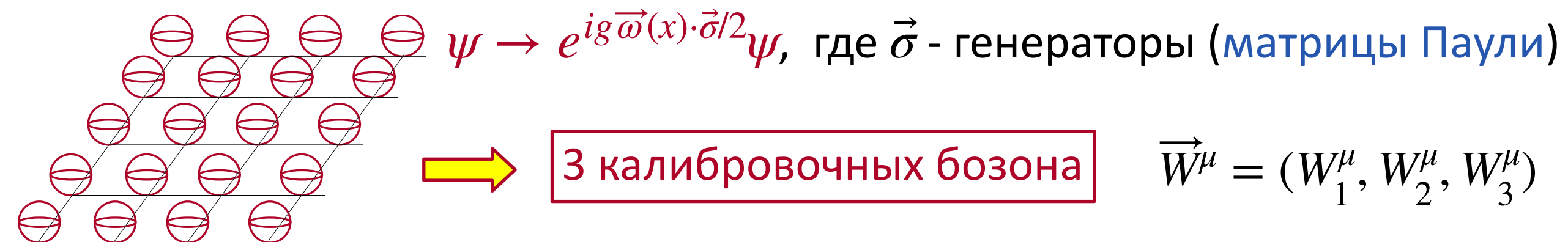
$$T_1 = \frac{1}{2} \begin{pmatrix} 0 & 1 \\ 1 & 0 \end{pmatrix}, \quad T_2 = \frac{1}{2} \begin{pmatrix} 0 & -i \\ i & 0 \end{pmatrix}, \quad T_3 = \frac{1}{2} \begin{pmatrix} 1 & 0 \\ 0 & -1 \end{pmatrix}$$

 $[T_i,T_j]=i\epsilon_{ijk}T_k$, ϵ_{ijk} - абсолютно антисимметричный тензор,

$$U(\boldsymbol{\omega}) = 1 + ig\boldsymbol{\omega}T^{a} + \mathcal{O}(\omega^{2}) = \begin{pmatrix} 1 + ig\frac{\omega_{3}}{2} & i\frac{\omega_{1} - i\omega_{2}}{2} \\ i\frac{\omega_{1} + i\omega_{2}}{2} & 1 - ig\frac{\omega_{3}}{2} \end{pmatrix} + \mathcal{O}(\omega^{2})$$

SU(2)_L: слабые взаимодействия

• Слабые взаимодействия возникают из требования локальной инвариантности относительно преобразований SU(2)



- Фермионы (СМ) попадают в (изоспиновые) дублеты и локальное преобразование SU(2) перемешивает их $\binom{\nu_e}{e^-} \to \binom{\nu_e}{e^-}^{'} = e^{ig\overrightarrow{w}(x)\cdot \overrightarrow{o}/2} \binom{\nu_e}{e^-}$
- Слабые взаимодействия (W) чувствительны только к левым (LH) частицам/правым (RH) античастицам (только они попадают в дублеты)

$$I_{W} = \frac{1}{2} \quad \begin{pmatrix} v_{e} \\ e^{-} \end{pmatrix}_{L}, \quad \begin{pmatrix} v_{\mu} \\ \mu^{-} \end{pmatrix}_{L}, \quad \begin{pmatrix} v_{\tau} \\ \tau^{-} \end{pmatrix}_{L}, \quad \begin{pmatrix} u \\ d' \end{pmatrix}_{L}, \quad \begin{pmatrix} c \\ s' \end{pmatrix}_{L}, \quad \begin{pmatrix} t \\ b' \end{pmatrix}_{L} \qquad I_{W}^{3} = -\frac{1}{2}$$

$$I_W=0$$
 $(v_e)_R,\;(e^-)_R,...(u)_R,\;(d)_R,...$ NB: R/L соответствует киральности

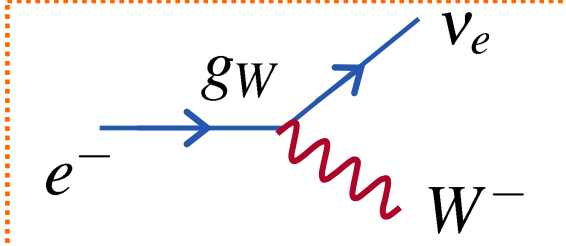
Заряженные и нейтральные токи

•Взаимодействие W^+/W^- с заряженными токами определяется линейными комбинация

$$W_{\mu}^{\pm} = (W_{\mu}^1 \mp iW_{\mu}^2)/\sqrt{2}$$

$$g \rightarrow g_W$$





соответствует

$$j_+^\mu = rac{g_W}{\sqrt{2}} \overline{\chi}_L \gamma^\mu \sigma_+ \chi_L$$

$$\chi_L = \begin{pmatrix} \nu_e \\ e^- \end{pmatrix}$$



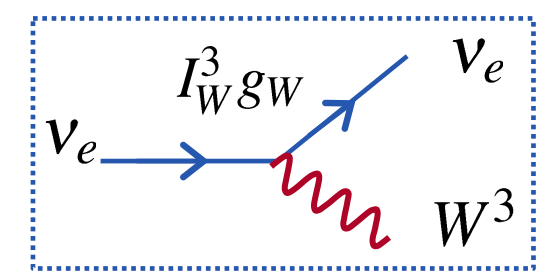
$$v_e \xrightarrow{g_W} v_e^-$$
 соответствует

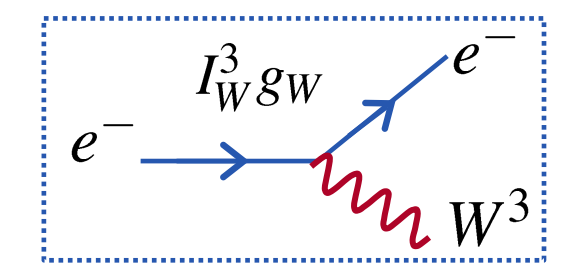
$$j_{-}^{\mu}=rac{g_{W}}{\sqrt{2}}\overline{\chi}_{L}\gamma^{\mu}\sigma_{-}\chi_{L}$$

$$\sigma^{\pm} = (\sigma_1 \pm i\sigma_2)/2$$

•Однако, имеем еще дополнительное взаимодействие за счет W³

Электрический заряд не меняется





Взаимодействие с нейтральным током (NEUTRAL CURRENT)!

Электрослабое объединение





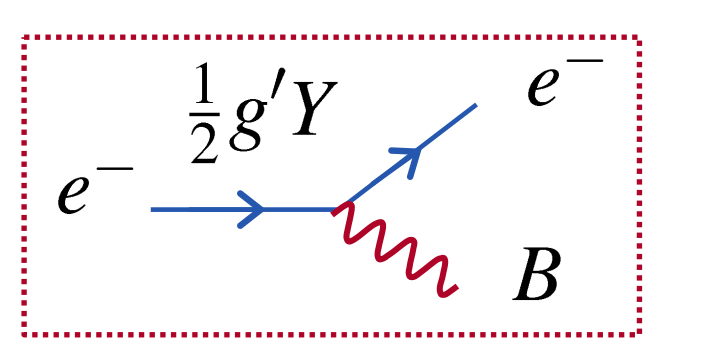
- •Кажется естественным отождествить W^3 с Z бозоном...
- •Однако, это не так. В спектре имеем два физических нейтральных векторных бозона γ , Z, а W^3 - их линейная комбинация
- Ортогональная комбинация нейтральный калибровочный бозон B — соответствует новой калибровочной симметрией $U(1)_Y$

слабый гиперзаряд, g' - калибровочная константа

• Как следствие, физические состояния

$$A_{\mu} = B_{\mu} \cos \theta_{W} + W_{3} \sin \theta_{W}$$
$$Z_{\mu} = -B_{\mu} \sin \theta_{W} + W_{3} \cos \theta_{W}$$

 θ_W угол смешивания Вайнберга



$$Y = 2Q - 2I_W^3$$

 $Y = 2Q - 2I_W^3$ $\left\{ \begin{array}{l} Q -$ электрический заряд $I_W^3 -$ третья компонента сл. изоспина Сила взаимодействия с B определяется фактором $\frac{1}{2}g'Y$

$$e_L: Y = 2(-1) - 2(-\frac{1}{2}) = -1$$
 $v_L: Y = +1$

$$e_R: Y = 2(-1) - 2(0) = -2$$
 $V_R: Y = 0$

Взаимодействие электрона с фотоном в СМ

• Рассмотрим взаимодействие электрона с W^3 , B, и фотоном (g_W, g', e соответствующие константы связи):

$$j_{\mu}^{em}=e\overline{\psi}Q_{e}\gamma_{\mu}\psi=e\overline{\mathrm{e}}_{L}Q_{e}\gamma_{\mu}\mathrm{e}_{L}+e\overline{\mathrm{e}}_{R}Q_{e}\gamma_{\mu}\mathrm{e}_{R}$$
 разные гиперзаряды у $j_{\mu}^{W^{3}}=-rac{g_{W}}{2}\overline{\mathrm{e}}_{L}\gamma_{\mu}\mathrm{e}_{L}$ левых и правых и правых $j_{\mu}^{Y}=rac{g'}{2}\overline{\psi}Y_{e}\gamma_{\mu}\psi=rac{g'}{2}\overline{\mathrm{e}}_{L}Y_{\mathrm{e}_{L}}\gamma_{\mu}\mathrm{e}_{L}+rac{g'}{2}\overline{\mathrm{e}}_{R}Y_{\mathrm{e}_{R}}\gamma_{\mu}\mathrm{e}_{R}$

• Соотношение $A_{\mu}=B_{\mu}{\cos{\theta_W}}+W_3{\sin{\theta_W}}$ соответствует тому, что

$$j_{\mu}^{em} = j_{\mu}^{Y} \cos \theta_{W} + j_{\mu}^{W^{3}} \sin \theta_{W}$$

$$e\overline{\mathbf{e}}_{L}Q_{\mathbf{e}}\gamma_{\mu}\mathbf{e}_{L} + e\overline{\mathbf{e}}_{R}Q_{e}\gamma_{\mu}\mathbf{e}_{R} = \frac{1}{2}g'\cos\theta_{W}[\overline{\mathbf{e}}_{L}Y_{\mathbf{e}_{L}}\gamma_{\mu}\mathbf{e}_{L} + \overline{\mathbf{e}}_{R}Y_{\mathbf{e}_{R}}\gamma_{\mu}\mathbf{e}_{R}] - \frac{1}{2}g_{W}\sin\theta_{W}[\overline{\mathbf{e}}_{L}\gamma_{\mu}e_{L}]$$

$$-e\overline{e}_{L}\gamma_{\mu}e_{L}-e\overline{e}_{R}\gamma_{\mu}e_{R}=\frac{1}{2}g'\cos\theta_{W}\left[-\overline{e}_{L}\gamma_{\mu}e_{L}-2\overline{e}_{R}\gamma_{\mu}e_{R}\right]-\frac{1}{2}g_{W}\sin\theta_{W}\left[\overline{e}_{L}\gamma_{\mu}e_{L}\right]$$

Сравнивая, получаем
$$e = g_W \sin \theta_W = g' \cos \theta_W$$

• Таким образом, константы связи электромагнитного, слабого и $U(1)_{\scriptscriptstyle V}$ взаимодействия связаны между собой.

Взаимодействие электрона с Z-бозоном в СМ

•Теперь, в этой модели можно определить, как Z взаимодействует с

электроном:
$$Z_{\mu}=-B_{\mu}\sin\theta_{W}+W_{3}\cos\theta_{W}$$
 для электрона $I_{W}^{3}=-1/2$ $j_{\mu}^{Z}=-\frac{1}{2}g'\sin\theta_{W}[\overline{\mathbf{e}}_{L}Y_{\mathbf{e}_{L}}\gamma_{\mu}\mathbf{e}_{L}+\overline{\mathbf{e}}_{R}Y_{\mathbf{e}_{R}}\gamma_{\mu}\mathbf{e}_{R}]-\frac{1}{2}g_{W}\cos\theta_{W}[\mathbf{e}_{L}\gamma_{\mu}e_{L}]$

$$j_{\mu}^{Z} = -\frac{1}{2}g'\sin\theta_{W}\left[\overline{\mathbf{e}}_{L}(2Q - 2I_{W}^{3})\gamma_{\mu}\mathbf{e}_{L} + \overline{\mathbf{e}}_{R}(2Q)\gamma_{\mu}\mathbf{e}_{R}\right] + I_{W}^{3}g_{W}\cos\theta_{W}\left[\mathbf{e}_{L}\gamma_{\mu}e_{L}\right]$$

для RH спиноров $I_3^W=0$

$$j_{\mu}^{Z} = \left[g' I_{W}^{3} \sin \theta_{W} - g' Q \sin \theta_{W} + g_{W} I_{W}^{3} \cos \theta_{W} \right] \overline{e}_{L} \gamma_{\mu} e_{L} - \left[g' Q \sin \theta_{W} \right] e_{R} \gamma_{\mu} e_{R}$$

•Используя $e=g_W\sin\theta_W=g'\cos\theta_W$ и факторизуя $g'/\sin\theta_W$:

$$j_{\mu}^{Z} = \left[g' \frac{(I_{W}^{3} - Q \sin^{2} \theta_{W})}{\sin \theta_{W}} \right] \bar{e}_{L} \gamma_{\mu} e_{L} - \left[g' \frac{Q \sin^{2} \theta_{W}}{\sin \theta_{W}} \right] e_{R} \gamma_{\mu} e_{R}$$

$$j_{\mu}^{Z} = g_{Z}(I_{W}^{3} - Q\sin^{2}\theta_{W})[\overline{e}_{L}\gamma_{\mu}e_{L}] - g_{Z}Q\sin^{2}\theta_{W}[e_{R}\gamma_{\mu}e_{R}]$$

$$e = g_Z \cos \theta_W \sin \theta_W$$

$$g_Z = \frac{g_W}{\cos \theta_W} = \frac{g'}{\sin \theta_W}$$

Взаимодействие фермионов СМ с Z-бозоном

• Обобщение на другие фермионы СМ:

$$j_{Z}^{\mu} = g_{z} \left(c_{L} \bar{\psi}_{L} \gamma^{\mu} \psi_{L} + c_{R} \bar{\psi}_{R} \gamma_{\mu} \psi_{R} \right)$$

$$c_{L} = I_{W}^{3} - Q \sin^{2} \theta_{W}$$

$$c_{R} = -Q \sin^{2} \theta_{W}$$

$$\psi_{L} \qquad \psi_{R} \qquad \psi_{R}$$

$$\psi_{R} \qquad g_{z} c_{R} \qquad \psi_{R}$$

$$\psi_{R} \qquad g_{z} c_{R} \qquad \psi_{R}$$

•Используя экспериментальное значение $\sin^2 \theta_W pprox 0.23$

	фермионы	Q	I_W^3	c_L	c_R	c_V	c_A	
$c_V = c_L + c_R$	$v_e, v_\mu, v_ au$	0	$+\frac{1}{2}$	$+\frac{1}{2}$	0	$+\frac{1}{2}$	$+\frac{1}{2}$	
$c_A = c_R - c_A$	e^-, μ^-, au^-	-1	$-\frac{1}{2}$	-0.27	0.23	-0.04	$-\frac{1}{2}$	
	u,c,t	$+\frac{2}{3}$	$+\frac{1}{2}$	0.35	-0.15	+0.19	$+\frac{1}{2}$	
	d, s, b	$-\frac{1}{3}$	$-\frac{1}{2}$	-0.42	0.08	-0.35	$-\frac{1}{2}$	

Электрослабые взаимодействия

• Компактно можно записать лагранжиан для взаимодействия кварков и лептонов с W_μ и B_μ с помощью ковариантных производных:

$$\delta \mathcal{L}_{ew} = i \left(\bar{Q}^j \hat{\mathbf{D}}_{L} Q^j + \bar{L}^j \hat{\mathbf{D}}_{L} L^j + \bar{u}_R^j \hat{\mathbf{D}}_{R} u_R^j + \bar{d}_R^j \hat{\mathbf{D}}_{R} d_R^j + \bar{e}_R^j \hat{\mathbf{D}}_{R} e_R^j \right)$$

$$D_{\mu}^{L} = \begin{pmatrix} \partial_{\mu} - \frac{i}{2} (g_{W}W_{\mu}^{3} + g'Y_{L}^{f}B_{\mu}) & -i\frac{g_{W}}{\sqrt{2}}W_{\mu}^{+} \\ -i\frac{g_{W}}{\sqrt{2}}W_{\mu}^{-} & \partial_{\mu} + \frac{i}{2} (g_{W}W_{\mu}^{3} - g'Y_{L}^{f}B_{\mu}) \end{pmatrix}$$

$$D_{\mu}^{R} = \partial_{\mu} - ig' \frac{Y_{R}^{f}}{2} B_{\mu}$$

$$Q^j = egin{pmatrix} u_L^j \ d_L^j \end{pmatrix}$$
, $L = egin{pmatrix}
u_L^j \ e_L^j \end{pmatrix}$, $u_R^j, d_R^j, e_{R'}^j, \ j = \overline{1,3}$ - 3 поколения

NB: глобальная "флейворная" симметрия $\delta \mathscr{L}_{ew}$: $[U(3)_Q \times U(3)_d \times U(3)_u] \times [U(3)_L \times U(3)_e]$

Электрослабые взаимодействия

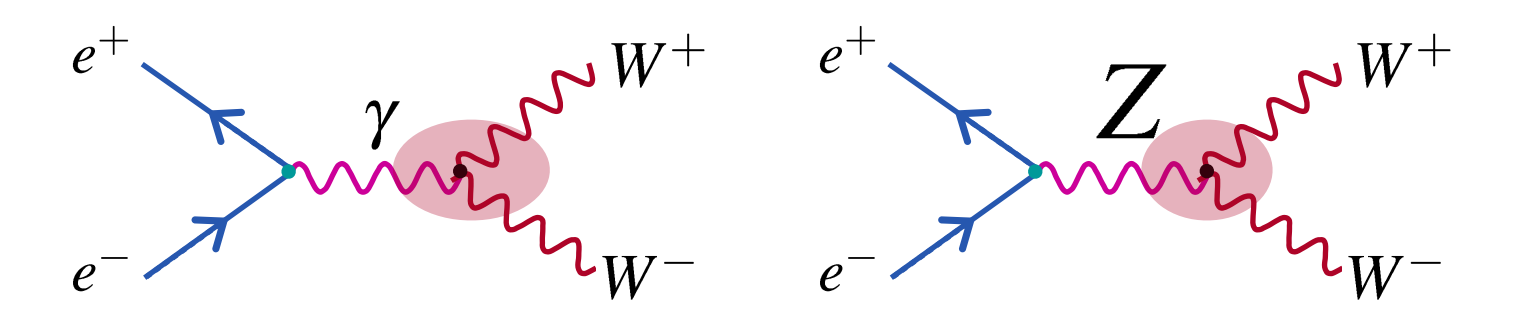
• Важный момент для неабелевых калибровочных симметрий:

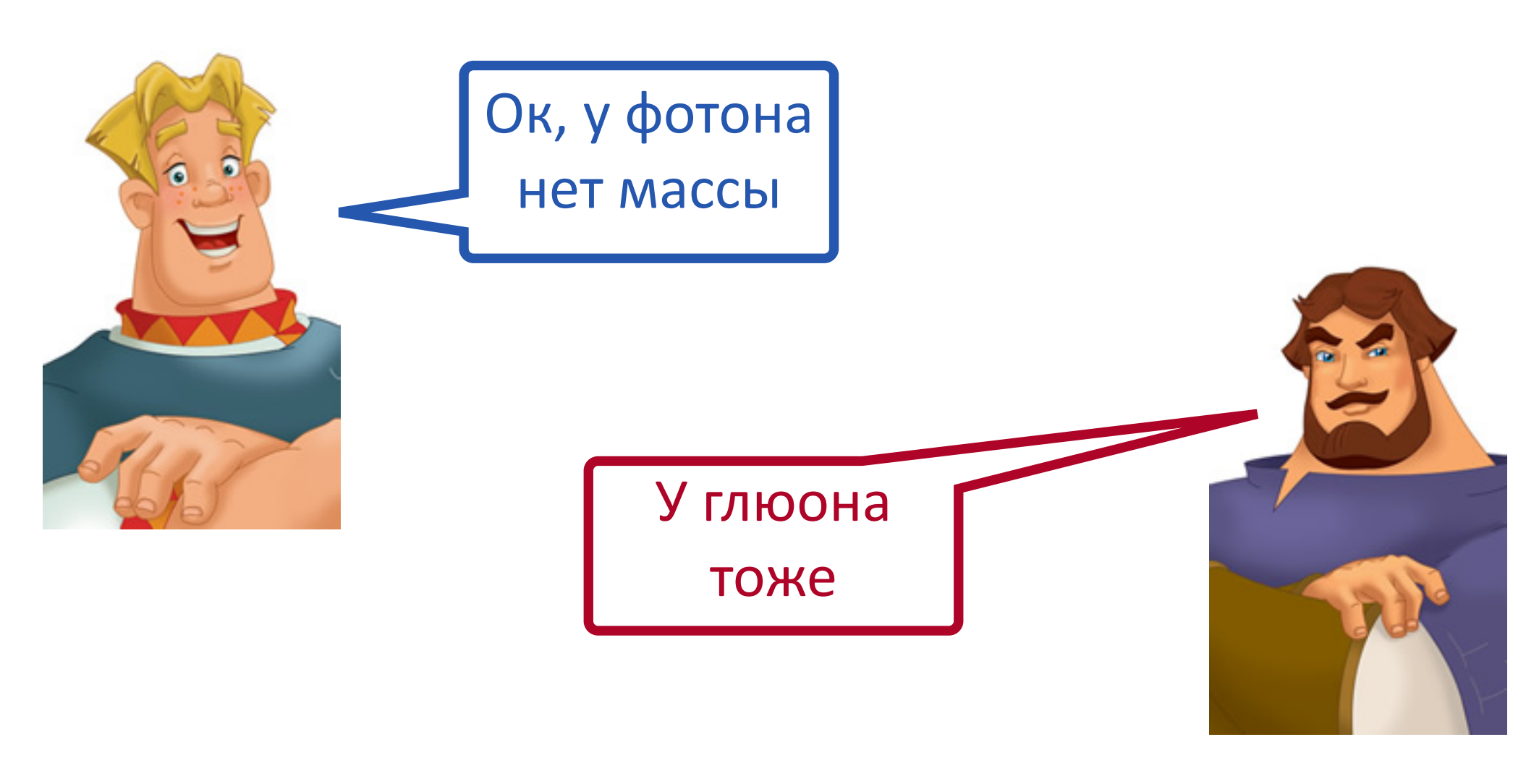
$$\mathcal{L}_{0}^{W,B} = -\frac{1}{4} \overrightarrow{W}_{\mu\nu} \cdot \overrightarrow{W}_{\nu} - \frac{1}{4} B_{\mu\nu} B_{\mu\nu}$$

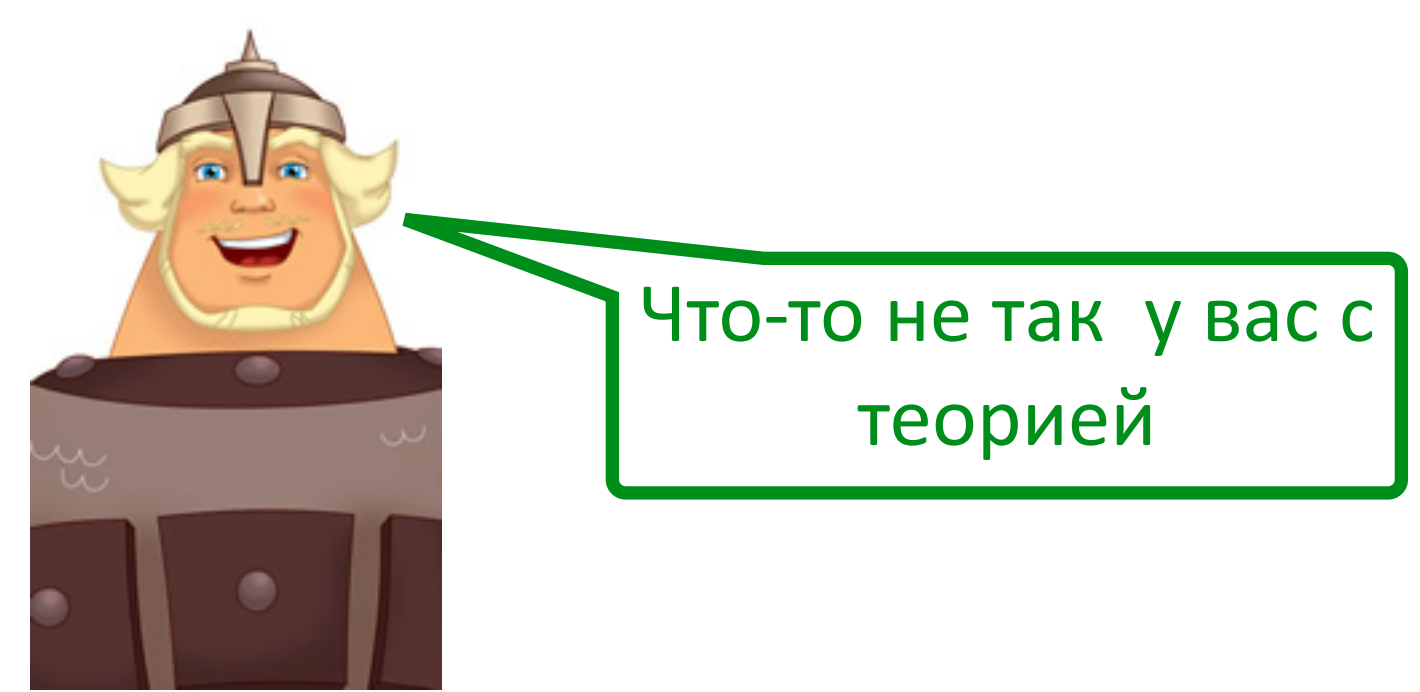
$$B_{\mu\nu} = \partial_{\mu} B_{\nu} - \partial_{\nu} B_{\mu}$$

$$\overrightarrow{W}_{\mu\nu} = \partial_{\mu} \overrightarrow{W}_{\nu} - \partial_{\nu} \overrightarrow{W}_{\mu} + g_{W} \overrightarrow{W}_{\mu} \times \overrightarrow{W}_{\nu}$$

• Самодействие калибровочных бозонов (несут заряд)



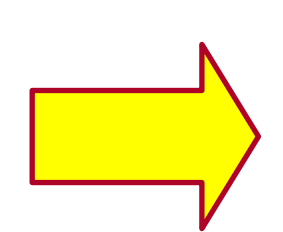


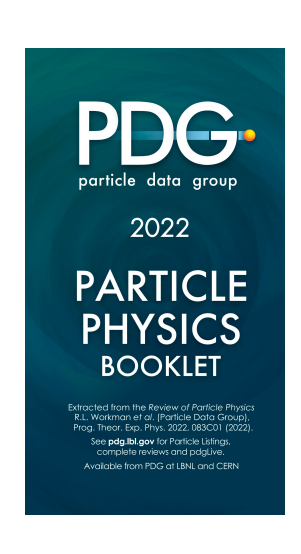


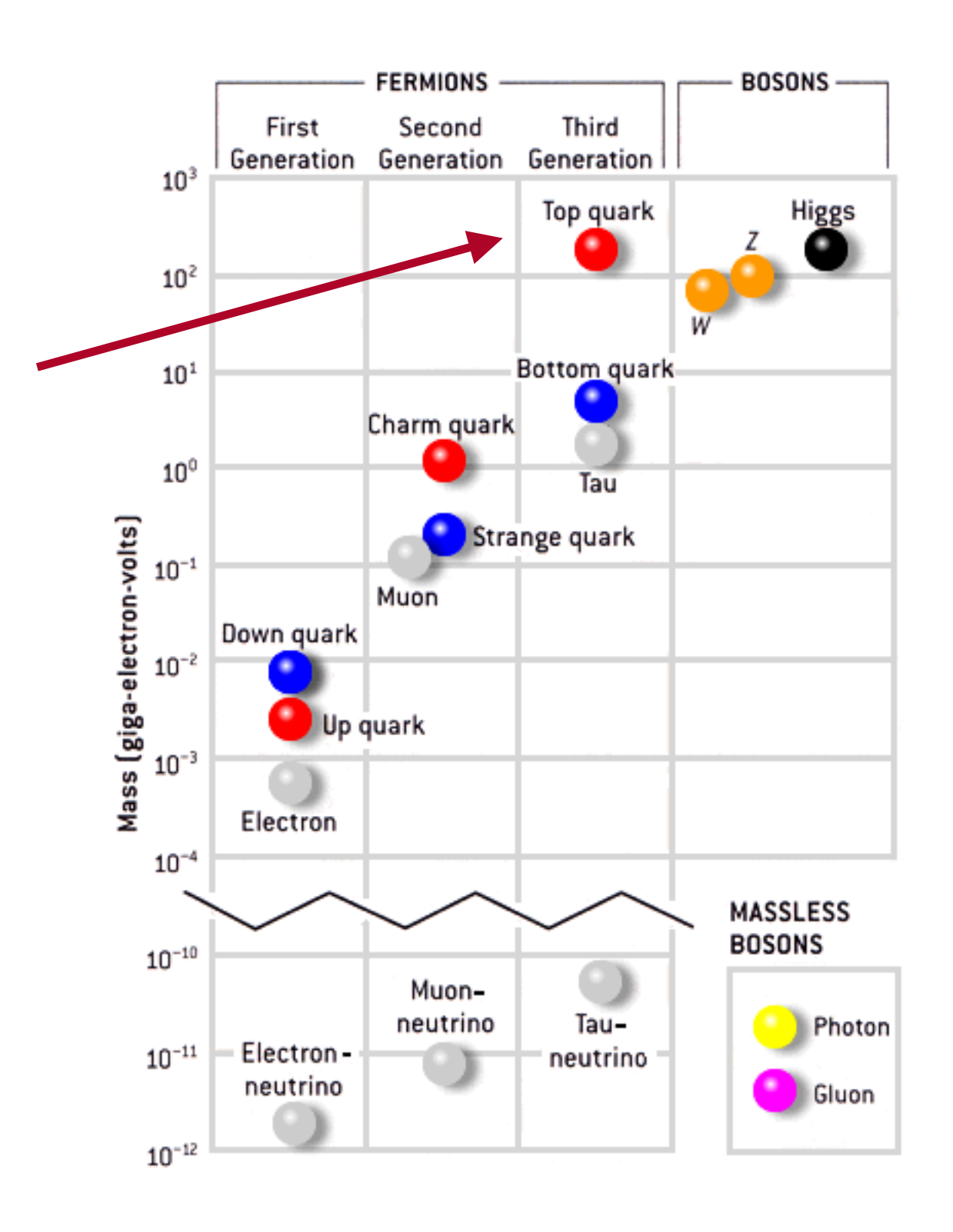
Топ-кварк



 $M_t = 172.5 \pm 0.7$ ГэВ

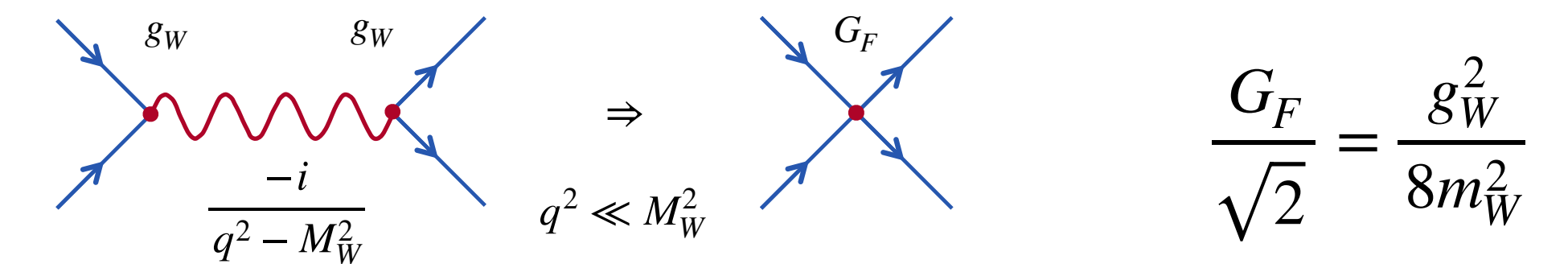






Проблема с массами элементарных частиц.

- Ранее мы использовали идею калибровочной инвариантности, чтобы описать слабые и электромагнитные взаимодействия единым образом.
- Симметрия требует, чтобы калибровочные бозоны были безмассовыми
- Однако, из эксперимента мы знаем, что W и Z обладают массами:
 - не видим Z-бозона, "летающего" вокруг нас (в отличие от фотона)
 - слабые силы короткодействующие
 - при низких энергиях мы должны воспроизводить модель Ферми:



• Кроме этого, оказывается, что эта же симметрия запрещает массы у фермионов: соответствующее слагаемое $\mathcal{L} \ni -m(\bar{\psi}_L\psi_R+\bar{\psi}_R\psi_L)$ "перемешивает" левые ψ_L и правые ψ_R киральные поля, которые преобразуются по-разному относительно $SU(2)_L \times U(1)_Y$: левые поля объединены в дублеты $SU(2)_L$, а правые являются синглетами.

Механизм Хиггса в скалярной электродинамике

- Попробуем решить проблему с массами калибровочных бозонов, рассмотрев теорию заряженного скалярного поля, взаимодействующего с фотоном.
- •Соответствующий лагранжиан:

$$\mathscr{L} = \partial_{\mu}\phi^{\dagger}\partial_{\mu}\phi - V(\phi^{\dagger}\phi) - \frac{1}{4}F_{\mu\nu}^{2} + ie\left(\phi^{\dagger}\partial_{\mu}\phi - \phi\partial_{\mu}\phi^{\dagger}\right)A_{\mu} + e^{2}A_{\mu}A_{\mu}\phi^{\dagger}\phi$$
 Свободное Взаимодействие скалярного поля

скалярное поле

Свободное электромагнитное Взаимодействие скалярного поля с электромагнитным полем

"Потенциал":

поле $F_{\mu\nu} = \partial_{\mu}A_{\nu} - \partial_{\nu}A_{\mu}$

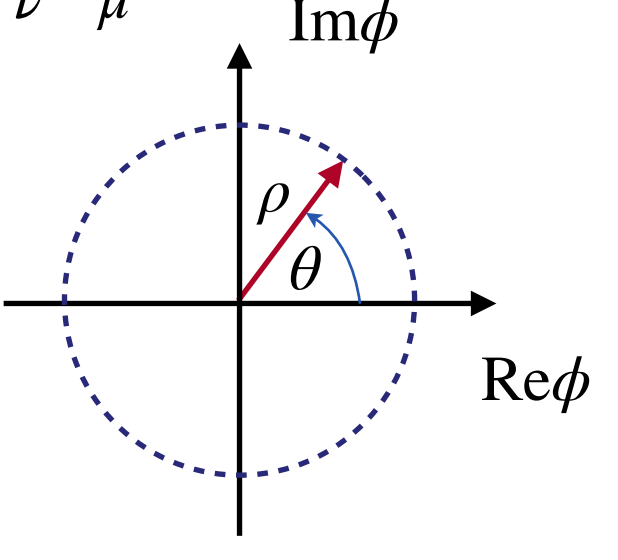
масса скалярного поля + самодействие

инвариантен относительно калибровочных преобразований:

$$\phi \to e^{ie\omega(x)}\phi$$
, $A_{\mu} \to A_{\mu} + \partial_{\mu}\omega$

•Поле ϕ [две степени свободы ("частица-античастица")] может быть переписано в полярных координатах и

$$\mathcal{L} = \frac{1}{2}(\partial_{\mu}\rho)^{2} + \frac{e^{2}\rho^{2}}{2}\left(A_{\mu} - \frac{1}{e}\partial_{\mu}\theta\right)\left(A_{\mu} - \frac{1}{e}\partial_{\mu}\theta\right) - V(\rho^{2}/2) - \frac{1}{4}F_{\mu\nu}^{2} \qquad \phi(x) = \frac{1}{\sqrt{2}}\rho(x)e^{i\theta(x)}$$



$$\phi(x) = \frac{1}{\sqrt{2}} \rho(x) e^{i\theta(x)}$$

Механизм Хиггса в скалярной электродинамике

- Попробуем решить проблему с массами калибровочных бозонов, рассмотрев теорию заряженного скалярного поля, взаимодействующего с фотоном.
- •Соответствующий лагранжиан:

$$\mathscr{L} = \partial_{\mu}\phi^{\dagger}\partial_{\mu}\phi - V(\phi^{\dagger}\phi) - \frac{1}{4}F_{\mu\nu}^{2} + ie\left(\phi^{\dagger}\partial_{\mu}\phi - \phi\partial_{\mu}\phi^{\dagger}\right)A_{\mu} + e^{2}A_{\mu}A_{\mu}\phi^{\dagger}\phi$$
 Свободное Взаимодействие скалярного поля

"Потенциал":

скалярное поле

электромагнитное

с электромагнитным полем

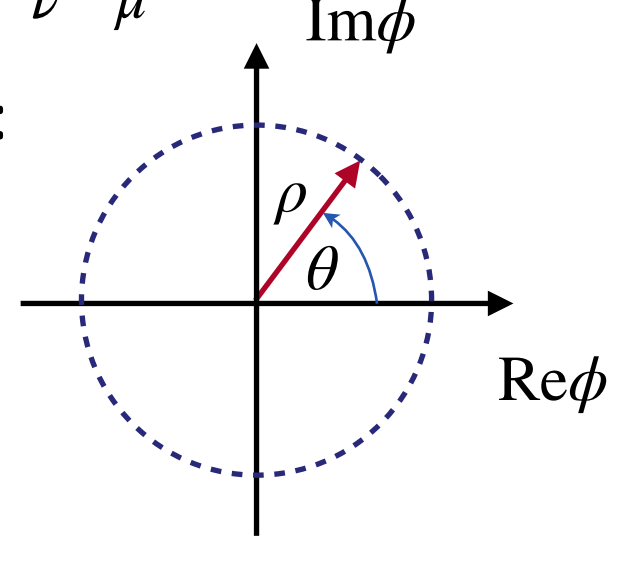
масса скалярного поля + самодействие

инвариантен относительно калибровочных преобразований:

$$\phi \to e^{ie\omega(x)}\phi$$
, $A_{\mu} \to A_{\mu} + \partial_{\mu}\omega$

•Поле ϕ [две степени свободы ("частица-античастица")] может быть переписано в полярных координатах и

$$\mathcal{L} = \frac{1}{2} (\partial_{\mu} \rho)^{2} + \frac{e^{2} \rho^{2}}{2} B_{\mu} B_{\mu} - V(\rho^{2}/2) - \frac{1}{4} F_{\mu\nu}^{2}(B), \quad B_{\mu} = A_{\mu} - \frac{1}{e} \partial_{\mu} \theta$$



$$\phi(x) = \frac{1}{\sqrt{2}} \rho(x) e^{i\theta(x)}$$

•Поля ρ и $B_{\mu} \equiv A_{\mu} - \partial_{\mu}\theta/e$ не меняются при калибр. преобразований!

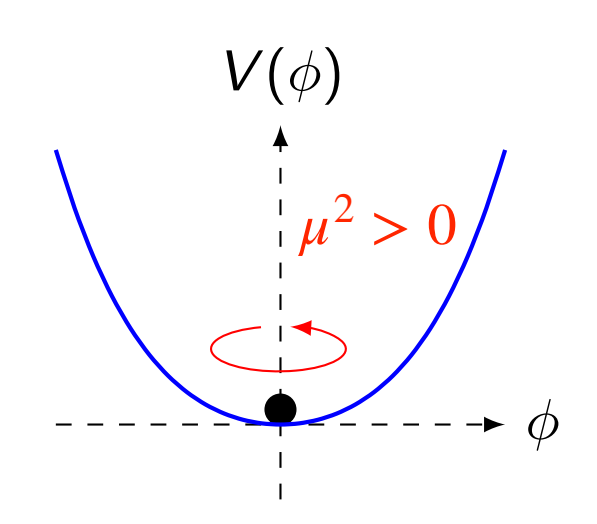
поле $F_{\mu\nu} = \partial_{\mu}A_{\nu} - \partial_{\nu}A_{\mu}$

Механизм Хиггса в скалярной электродинамике

•Лагранжиан в новых переменных (B_{μ} все еще безмассовое):

$$\mathcal{L} = \frac{1}{2} (\partial_{\mu} \rho)^{2} + \frac{e^{2} \rho^{2}}{2} B_{\mu} B_{\mu} - V(\rho^{2}/2) - \frac{1}{4} F_{\mu\nu}^{2}$$

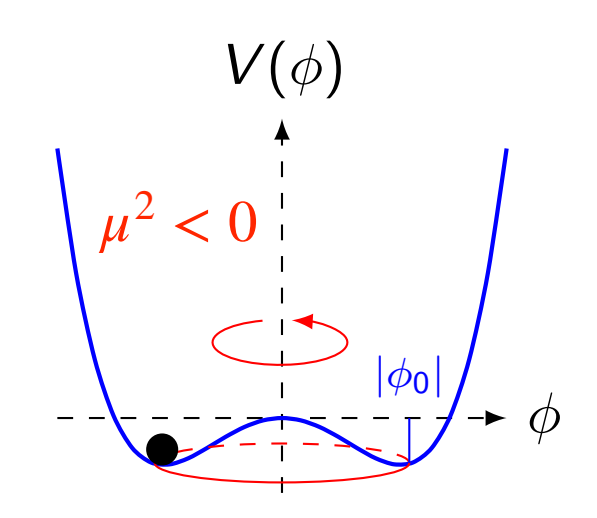
- •Поле $\rho(x)$ динамическое поле, однако, если мы заменим его $ho o v = {\rm const}$, то слагаемое $e^2 v^2 B_\mu B_\mu / 2$ в $\mathscr L$ будет выглядеть как масса для поля B_μ . Как оправдать такую замену?
- •Вспомним, что в квантовой теории поля, частицы есть возбуждения поля над вакуумом состоянием с наименьшей энергией*. В зависимости от формы потенциала V, который обычно берут в виде:



$$ullet$$
 единственный симметричный вакуум ($\phi_0=0$)

$$V(\phi) = \mu^2 \phi^{\dagger} \phi + \lambda (\phi^{\dagger} \phi)^2$$

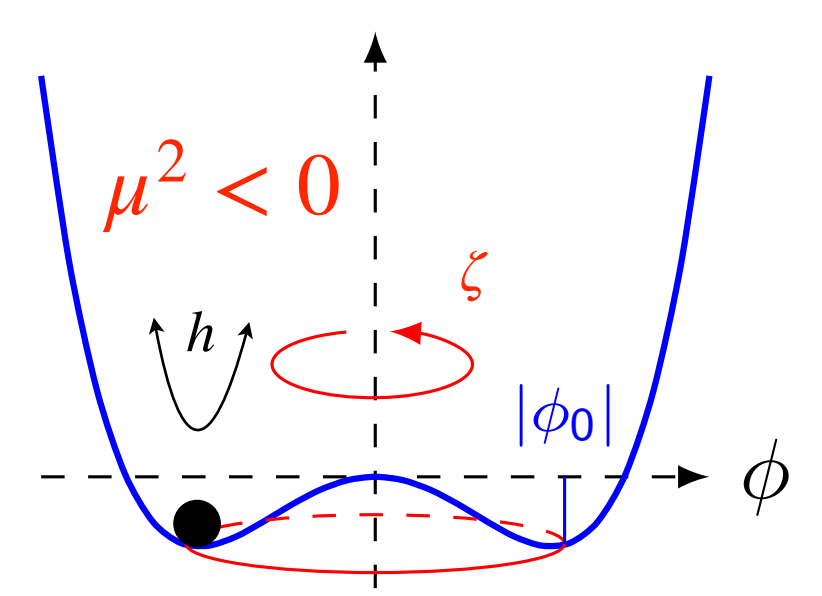
$$\frac{\partial V}{\partial \phi} \bigg|_{\phi = \phi_0} = 0$$



• бесконечный набор вырожденных несимметричных состояний ($\phi_0 = ve^{i\alpha}/\sqrt{2}$)

Механизм Браута-Энглера-<u>Хиггса</u>-Хагена-Гуралника-Киббла

- •Ненулевое значение поля в минимуме потенциала интерпретируется в квантовой теории поля как вакуумное среднее (оператора).
- •Спонтанное нарушение выбор одного из возможных (эквивалентных) вакуумов (значений α), например, $\phi_0 = \frac{v}{\sqrt{2}} e^{i\alpha} \Rightarrow \frac{v}{\sqrt{2}} \equiv \langle 0 \, | \, \phi(x) \, | \, 0 \rangle, \quad \alpha = 0$
- •Частицам соответствуют (малые) возбуждения над вакуумом:



$$\phi(x) = \frac{\rho(x)}{\sqrt{2}} e^{i\theta(x)} = \frac{v + h(x)}{\sqrt{2}} e^{i\zeta(x)/v}$$

• h(x) — радиальные возбуждения (массивные частицы, а.к.а бозон Хиггса)

 $oldsymbol{\cdot}\zeta(x)$ — возбуждения вдоль "долины"

(безмассовые голдстоуновские моды)

•Подставляя
$$\rho(x) = v + h(x)$$
 в лагранжиан $\mathscr{L} = \frac{1}{2} (\partial_{\mu} \rho)^2 + \frac{e^2 \rho^2}{2} B_{\mu} B_{\mu} - V(\rho^2/2) - \frac{1}{4} F_{\mu\nu}^2$
$$\mathscr{L} = \frac{1}{2} (\partial_{\mu} h)^2 + \frac{e^2 v^2}{2} B_{\mu} B_{\mu} + e^2 v h B_{\mu} B_{\mu} + \frac{e^2 h^2}{2} B_{\mu} B_{\mu} - V - \frac{1}{4} F_{\mu\nu}^2$$

масса "фотона"

взаимодействие бозона Хиггса с "фотоном"

Механизм Хиггса: степени свободы

•Мы начали с лагранжиана:

$$\mathcal{L}_{1}=\partial_{\mu}\phi^{\dagger}\partial_{\mu}\phi-V(\phi^{\dagger}\phi)-\frac{1}{4}F_{\mu\nu}(A)^{2}+ie\left(\phi^{\dagger}\partial_{\mu}\phi-\phi\partial_{\mu}\phi^{\dagger}\right)A_{\mu}+e^{2}A_{\mu}A_{\mu}\phi^{\dagger}\phi$$

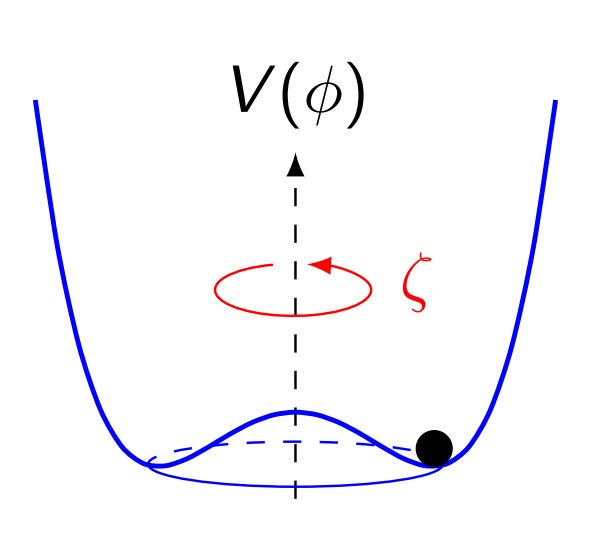
•После замены переменных [$\sqrt{2}\phi=(v+h)exp(i\zeta/v)$, $B_{\mu}=A_{\mu}-\partial_{\mu}\zeta/(ev)$]

$$\mathcal{L}_{2} = \frac{1}{2} (\partial_{\mu} h)^{2} + \frac{e^{2} v^{2}}{2} B_{\mu} B_{\mu} + \frac{e^{2} v h B_{\mu} B_{\mu}}{2} + \frac{e^{2} h^{2}}{2} B_{\mu} B_{\mu} - V - \frac{1}{4} F_{\mu\nu}^{2}$$

- ${}_{\bullet}\mathscr{L}_{1}$ описывает
 - •2 степени свободы (комплексное скалярное поле $-\phi, \phi^{\dagger}$)
 - •2 степени свободы (безмассовое калибровочное поле A_{μ})
- $m{\mathscr{L}}_2$ описывает
 - 1 степень свободы (действительное скалярное поле -h)
 - . 3 степени свободы (массивное векторное поле B_{μ})

"Чтобы стать массивным, безмассовый калибровочный бозон съел одну скалярную степень свободы"

О теореме Голдстоуна



- •Если бы симметрия была глобальная, то при спонтанном нарушении симметрии возникали бы безмассовые (физические) состояния: голдстоуновские бозоны ζ — возбуждения над вакуумом "вдоль" нарушенных симметрий (генераторов)
- •Это связано с тем, что у нас есть набор вырожденных вакуумных состояний, которые связаны друг с другом преобразованиями нарушенных симметрий.

$$\phi \to e^{ie\omega}\phi$$
: $\frac{v}{\sqrt{2}} \to \frac{v}{\sqrt{2}}e^{ie\omega}$, $\omega = \text{const}$

- •Заменим параметр ω преобразования на поле $\omega \to \zeta(x)/(ev)$ и получим параметризацию голдстоуновскую моды. Характерной чертой является то, что под действием глобального преобразование $\omega=\mathrm{const}$ поле сдвигается на $\zeta(x) \rightarrow \zeta(x) + ev\omega$ константу:
- •В случая же локальной (калибровочной) симметрии, $\zeta(x)$ не является физическим и может быть "убрано" с помощью преобразования с подходящим $\omega(x)$ = "съедено" калибровочным бозоном, связанным с нарушенной симметрией.

Механизм Хиггса в электрослабой теории

- •При построении электрослабой теории мы использовали $SU(2)_L imes U(1)_Y$ калибровочную группу, которая давала 4 калибровочных бозона: нейтральные Z,γ (комбинации W_3 и B)~+ заряженные W^\pm (комбинации $W_{1,2}$)
- •Из эксперимента мы знаем, что лишь фотон γ является безмассовым!
- •Необходимо нарушить 3 из 4 симметрий (генераторов), чтобы Z,W^\pm смогли стать массивными, съев 3 голдстоуновских бозона.
- •В СМ для того, чтобы нарушить $SU(2)_L$ используют скалярное поле (набор полей), которое преобразуется как SU(2) дублет: / "голдстоуны" на съедение

$$\Phi(x) = \frac{1}{\sqrt{2}} \exp\left[i\frac{\zeta_i}{v} \cdot \frac{\sigma_i}{2}\right] \begin{pmatrix} 0 \\ v + h(x) \end{pmatrix}$$

•Также предполагается, что $\Phi(x)$ несет слабый гиперзаряд, т.е. преобразуется под действием $U(1)_{y}$

вакуумное среднее
$$\Phi_0 \equiv \langle 0 \, | \, \Phi \, | \, 0 \rangle = \frac{1}{\sqrt{2}} \begin{pmatrix} 0 \\ v \end{pmatrix}$$

генераторы SU(2) — матрицы Паули

Механизм Хиггса в электрослабой теории

•Таким образом, в СМ дублет

$$\Phi(x) = \frac{1}{\sqrt{2}} \exp\left[i\frac{\zeta_i}{v} \cdot \frac{\sigma_i}{2}\right] \begin{pmatrix} 0\\ v + h(x) \end{pmatrix}$$



•Преобразуется под действием $SU(2)_L imes U(1)_Y$ как

генераторы слабого изоспина (матрицы Паули)
$$\Phi \to \exp \left[ig_W T_i \omega_i + ig' \frac{Y_H}{2} \omega' \right] \Phi$$
 хиггсовского дублета (число)

•Не хотим, чтобы фотон был массивным, вакуумное состояние должно иметь нулевой электрический заряд = не преобразовываться под действием $U(1)_{em}$:

$$Q\Phi_0 = \left(T_3 + \frac{Y}{2}\right)\Phi_0 = 0 \quad \Rightarrow \quad \frac{1}{2} \begin{pmatrix} 1 + Y_H & 0\\ 0 & -1 + Y_H \end{pmatrix} \cdot \begin{pmatrix} 0\\ \frac{v}{\sqrt{2}} \end{pmatrix} = 0$$

•Следовательно, если $Y_H=1$, то вакуум электрически нейтрален и фотон остается безмассовым: нарушение $SU(2)_L \times U(1)_Y o U(1)_{em}$

Модель Глешоу-Вайнберга-Салама (GWS)

•Вакуумное среднее поля $\Phi(x)$ возникает, если взять потенциал

$$V(\Phi) = m_{\Phi}^2 \Phi^{\dagger} \Phi + \lambda (\Phi^{\dagger} \Phi)^2$$

с $m_{\Phi}^2 < 0$. Аналогично скалярной электродинамики имеем $v = |m_{\Phi}^2|/\lambda$.

•Кроме того, лагранжиан СМ также содержит ("кинетическое") слагаемое

$$(D_{\mu}\Phi)^{\dagger}(D_{\mu}\Phi) = \frac{1}{2}(\partial_{\mu}h)^{2} + \left[\frac{g_{W}^{2}v^{2}}{4}W_{\mu}^{+}W_{\mu}^{-} + \frac{v^{2}}{8}(g_{W}W_{\mu}^{3} - g'B_{\mu})^{2}\right]\left(1 + \frac{h}{v}\right)^{2}$$

где мы использовали калибровочную свободу, чтобы избавиться от голдстоуновских полей ("унитарная калибровка")

•Масса W-бозона в СМ связана с вакуумным средним: $M_W = g_W v/2$

Модель Глешоу-Вайнберга-Салама (GWS)

•Вакуумное среднее поля $\Phi(x)$ возникает, если взять потенциал

$$V(\Phi) = m_{\Phi}^2 \Phi^{\dagger} \Phi + \lambda (\Phi^{\dagger} \Phi)^2$$

с $m_\Phi^2 < 0$. Аналогично скалярной электродинамики имеем $v = |m_\Phi^2|/\lambda$.

•Кроме того, лагранжиан СМ также содержит ("кинетическое") слагаемое

$$(D_{\mu}\Phi)^{\dagger}(D_{\mu}\Phi) = \frac{1}{2}(\partial_{\mu}h)^{2} + \left[\frac{g_{W}^{2}v^{2}}{4}W_{\mu}^{+}W_{\mu}^{-} + \frac{g_{Z}^{2}v^{2}}{8}(g_{W}/g_{Z}W_{\mu}^{3} - g'/g_{Z}B_{\mu})^{2}\right]\left(1 + \frac{h}{v}\right)^{2}$$

где мы использовали калибровочную свободу, чтобы избавиться от голдстоуновских полей ("унитарная калибровка")

- •Масса W-бозона в СМ связана с вакуумным средним: $M_W = g_W v/2$
- •Не хотим, чтобы фотон стал массивным: $Z_{\mu} = -B_{\mu}\sin\theta_W + W_3\cos\theta_W$

$$\cos \theta_W = \frac{g_W}{g_Z} \qquad \sin \theta_W = \frac{g'}{g_Z}, \qquad g_z = \sqrt{g_W^2 + g'^2}$$

•Масса Z-бозона в СМ: $M_Z = g_Z v/2$

Модель Глешоу-Вайнберга-Салама (GWS)

• Вспоминая, что
$$\frac{G_F}{\sqrt{2}} = \frac{g_W^2}{8M_W^2}$$
, получаем, $v^2 = \frac{1}{\sqrt{2}G_F} \approx 246$ ГэВ.

• Предсказание:

$$\frac{M_W}{M_Z} = g_W/g_Z = \cos\theta_W$$

• Параметр ρ — относительная сила электрослабых взаимодействий за счет обмена нейтральным и заряженным бозоном:

$$\rho = \frac{g_Z^2}{M_Z^2} \cdot \frac{M_W^2}{g_W^2} = \frac{M_W^2}{M_Z^2 \cos^2 \theta_W} \approx 1$$

• В СМ предсказывается, что ρ близок к единице (небольшое отличие за счет квантовых поправок, нарушающих так называемую custodial симметрию)

Механизм Хиггса и массы фермионов СМ

•Массовое слагаемое "перемешивает" левые и правые киральные поля например, для d-кварков

$$\mathscr{L} \ni -mar{d}d = -m(ar{d}_Ld_R+ar{d}_Rd_L)$$
 принадлежит $SU(2)_L$ дублету $Q_L=egin{pmatrix} u_L \ d_L \end{pmatrix}$ $SU(2)_L$ синглет.

•Чтобы сделать лагранжиан инвариантным относительно $SU(2)_L$ необходимо образовать комбинацию дублетов, не меняющуюся под действием группы: юкавское взаимодействие (фермион-фермион-скаляр)

$$\mathcal{L} \ni -y_{d}(\bar{Q}_{L}\Phi)d_{R}-y_{d}\bar{d}_{R}\Phi^{\dagger}Q_{L} \Rightarrow -\frac{y_{d}}{\sqrt{2}}\begin{pmatrix} \bar{u}_{L} & \bar{d}_{L} \end{pmatrix}\begin{pmatrix} 0 \\ v+h \end{pmatrix}d_{R}+\text{h.c.}$$

не меняется при $SU(2)_L$ вращениях:

$$Q_L o e^{ig_W T_i \omega_i} Q_L, \quad \Phi o e^{ig_W T_i \omega_i} \Phi$$

при замене $\Phi \to (0, v/\sqrt{2})$ на вакуумное среднее возникает необходимое массовое слагаемое:

$$-m_d \left(\overline{d}_L d_R + \text{h.c.} \right), \qquad m_d = \frac{y_d v}{\sqrt{2}}$$

Механизм Хиггса и массы фермионов СМ

•Аналогичным образом можно добавить Юкавские взаимодействия, приводящие к массам всех нижних фермионов СМ (d, s, b, e, μ, τ). При этом ничто не мешает нам ввести смешивания между поколениями:

ом ничто не мешает нам ввести смешивания между поколениями:
$$\mathscr{L} \ni -y_d^{ij}(\bar{Q}_L^i\Phi)d_R^j - y_d^{*ji}\bar{d}_R^j\Phi^\dagger Q_L^i \Rightarrow -\frac{y_d^{ij}}{\sqrt{2}}\left(\bar{u}_L^i \quad \bar{d}_L^i\right)\begin{pmatrix} 0 \\ v+h \end{pmatrix}d_R^j + \text{h.c.}$$
 массовая матрица нижних кварков
$$M_d^{ij} = \frac{y_d^{ij}v}{\sqrt{2}}$$

• Легко понять, что указанные слагаемые также инвариантны относительно $U(1)_{Y}$, так как при

$$Q_L \to e^{ig'\frac{Y_{Q_L}}{2}\omega'}Q_L$$
, $\Phi \to e^{ig'\frac{Y_{\Phi}}{2}\omega'}\Phi$, $d_R \to e^{ig'\frac{Y_{d_R}}{2}\omega'}d_R$

Юкавское взаимодействие нижних фермионов не меняется

$$-y_{d}(ar{Q}_{L}\Phi)d_{R} o -y_{d}(ar{Q}_{L}\Phi)d_{R} imes e^{ig'rac{\omega}{2}(-Y_{Q_{L}}+Y_{\Phi}+Y_{d_{R}})}=-y_{d}(ar{Q}_{L}\Phi)d_{R}$$
 благодаря соотношению $-Y_{Q_{L}}+Y_{\Phi}+Y_{d_{R}}=-rac{1}{3}+1-rac{2}{3}=0$

Механизм Хиггса и массы фермионов СМ

•Для решения проблемы масс верхних фермионов необходимо ввести (зарядово) сопряженный дублет полей Хиггса, гиперзаряд которого равен

$$\Phi_c \equiv i\sigma_2 \Phi^* = \begin{pmatrix} 0 & 1 \\ -1 & 0 \end{pmatrix} \begin{pmatrix} \phi^+ \\ \phi^0 \end{pmatrix}^* \Rightarrow \frac{1}{\sqrt{2}} \begin{pmatrix} v+h \\ 0 \end{pmatrix} \qquad Y_{\Phi_c} = -Y_{\Phi} = -1$$

•С его помощью можно записать Юкавское взаимодействие для верхних фермионов, инвариантное как относительно $SU(2)_L$, так и $U(1)_Y$:

ермионов, инвариантное как относительно
$$SO(2)_L$$
 , так и $O(1)_Y$.
$$\mathscr{L} \ni -y_u^{ij}(\bar{Q}_L^i \Phi_c) u_R^j - y_u^{*ji} \bar{u}_R^j \Phi_c^\dagger Q_L^i \Rightarrow -\frac{y_u^{ij}}{\sqrt{2}} \left(\bar{u}_L^i \quad \bar{d}_L^i \right) \begin{pmatrix} v+h \\ 0 \end{pmatrix} u_R^j + \text{h.c.}$$
 массовая матрица верхних кварков матрица

•В общем случае, матрицы M_u и M_d являются комплексными и задаются $2 \times 2 \cdot N^2$ действительными параметрами для N=3 кварковых поколений.

Массы кварков и смешивание

и матрица Каббибо-Кобаяши-Маскава

- •В СМ исходно лагранжиан записан в базисе кварковых полей q, в котором сильные и электрослабые взаимодействия диагональны. Юкавские же взаимодействия фермионов с бозоном Хиггса недиагональными по поколениям.
- •В этом базисе M_u и M_d не диагональны и для нахождения спектра масс кварков надо перейти с помощью унитарных вращений в массовый базис q':

$$u'_{L} = U_{L}u_{L}, \qquad u'_{R} = U_{R}u_{R} \ d'_{L} = D_{L}d_{L}, \qquad d'_{R} = D_{R}d_{R}$$
 $M_{u}^{diag} = \begin{pmatrix} m_{u} & 0 & 0 \\ 0 & m_{c} & 0 \\ 0 & 0 & m_{t} \end{pmatrix} \qquad M_{d}^{diag} = \begin{pmatrix} m_{d} & 0 & 0 \\ 0 & m_{s} & 0 \\ 0 & 0 & m_{b} \end{pmatrix}$

при этом
$$-\bar{u}_L M_u u_R - \bar{d}_L M_d d_R = -\bar{u}_L' M_u^{diag} u_R' - \bar{d}_L' M_d^{diag} d_R'$$

$$M_u^{diag} = U_L M_u U_R^\dagger, \qquad M_d^{diag} = D_L M_d D_R^\dagger$$

•Переписывая все через массовый базис, можно заметить, что благодаря унитарности почти везде матрицы вращений исчезнут, например,

$$eQ_{u}A_{\mu}(\bar{u}_{L}\gamma_{\mu}u_{L} + \bar{u}_{R}\gamma_{\mu}u_{R}) \rightarrow eQ_{u}A_{\mu}(\bar{u}_{L}'U_{L}U_{L}^{\dagger}\gamma_{\mu}u_{L}' + \bar{u}_{R}'U_{R}U_{R}^{\dagger}\gamma_{\mu}u_{R}')$$

Смешивание кварков

и матрица Каббибо-Кобаяши-Маскава (аналог PMNS для нейтрино:)

•Единственное место в СМ, где останется след от матриц вращения — это взаимодействие с W-бозоном (заряженный ток):

"массовый базис"

$$\frac{g_W}{\sqrt{2}}\bar{u}_L^i\gamma_\mu d_L^iW_\mu^+ \to \frac{g_W}{\sqrt{2}}\bar{u}_L^i(U_LD_L^\dagger)_{ij}\gamma_\mu d_L^jW_\mu^+$$

"слабый базис"

Матрица смешивания СКМ Каббибо-Кобаяши-Маскава!

$$V = U_L D_L^{\dagger}$$

•Поменяв базис, мы избавились от "лишних" параметров:

$$2\cdot N imes N + 2\cdot N imes N o 2N + rac{N(N-1)}{2} + rac{(N-2)(N-1)}{2}$$
 M_d Массы кварков углы в матрице СКМ "фазы" в СКМ, нарушающие СР

•В СМ имеем в кварковом секторе 6 масс, 3 угла и одна СР-нечетную фазу.

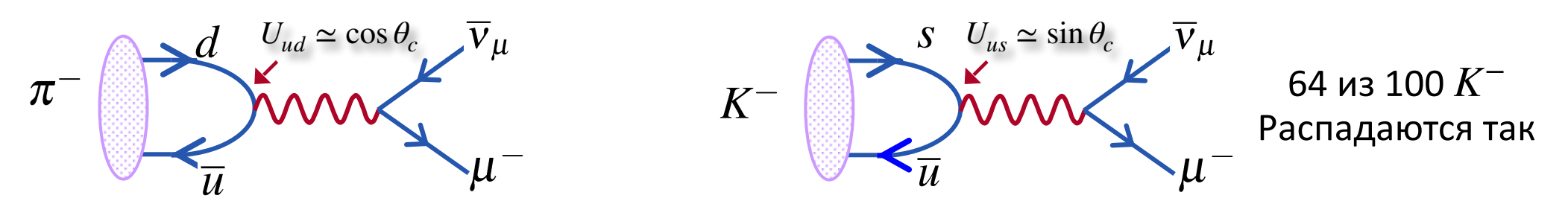
Смешивание кварков

и матрица Каббибо-Кобаяши-Маскава (аналог PMNS для нейтрино:)

•Единственное место в СМ, где останется след от матриц вращения — это взаимодействие с W-бозоном (заряженный ток):

$$\frac{g_W}{\sqrt{2}}\bar{u}_L^i\gamma_\mu d_L^{'i}W_\mu^+ = \frac{g_W}{\sqrt{2}}\bar{u}_L^i\gamma_\mu(V)_{ij}d_L^jW_\mu^+ \qquad \begin{pmatrix} d'\\s'\\b' \end{pmatrix}_L = \begin{pmatrix} V_{ud} \ V_{us} \ V_{ub}\\V_{cd} \ V_{cs} \ V_{cb}\\V_{td} \ V_{ts} \ V_{tb} \end{pmatrix} \begin{pmatrix} d\\s\\b \end{pmatrix}_L$$
 "слабый базис" "массовый базис"

•Смешивание в квантовом секторе объясняет разницу в распадах (Каббибо):



•Отсутствие FCNC (изменяющие аромат нейтральные токи)

на древесном уровне - подавление таких переходов в CM:

 V_{jd} $W^ \mu^-$ 7 из 109 K^- Распадаются так μ^+

• СР-нарушение! (нужны 3 поколения!)



Резюме

Лекция 2

- ✓Мы обсудили (почти) все аспекты Стандартной модели физики частиц.
- √Хотя теоретически СМ была предложена в конце 60-70 годах 20 века, ее экспериментальные подтверждение затянулось вплоть до 2010-2020 г.
- ✓Для построения СМ использовались



- ✓ На протяжении многих лет, Стандартная модель выдерживает многочисленные экспериментальные проверки
- → Несмотря на успех СМ нельзя забывать, что это всего лишь модель

Стандартная модель

Проблемы и вопросы

- •Слишком много параметров: 3 калибровочные константы, 6+(3+3) масс кварков и лептонов, 2 параметра хиггсовского потенциала, 3+3 угла смешивания в кварковом и нейтринном секторах, 1+1+2(?) СР-нарушающие фазы.
- Почему три поколения?
- ▶ Почему SU(3)_с x SU(2)_L x U(1)? Объединение взаимодействие?
- Природа СР нарушения, необходимого в Ранней Вселенной?
- Что есть Темная материя?
- Почему у фермионов такие разные массы? Почему такое смешивание?
- Почему масса бозона Хиггса (сравнительна) мала? (Проблема иерархии)
- Как учесть гравитацию?
- Небольшие отклонения от предсказаний СМ?

•

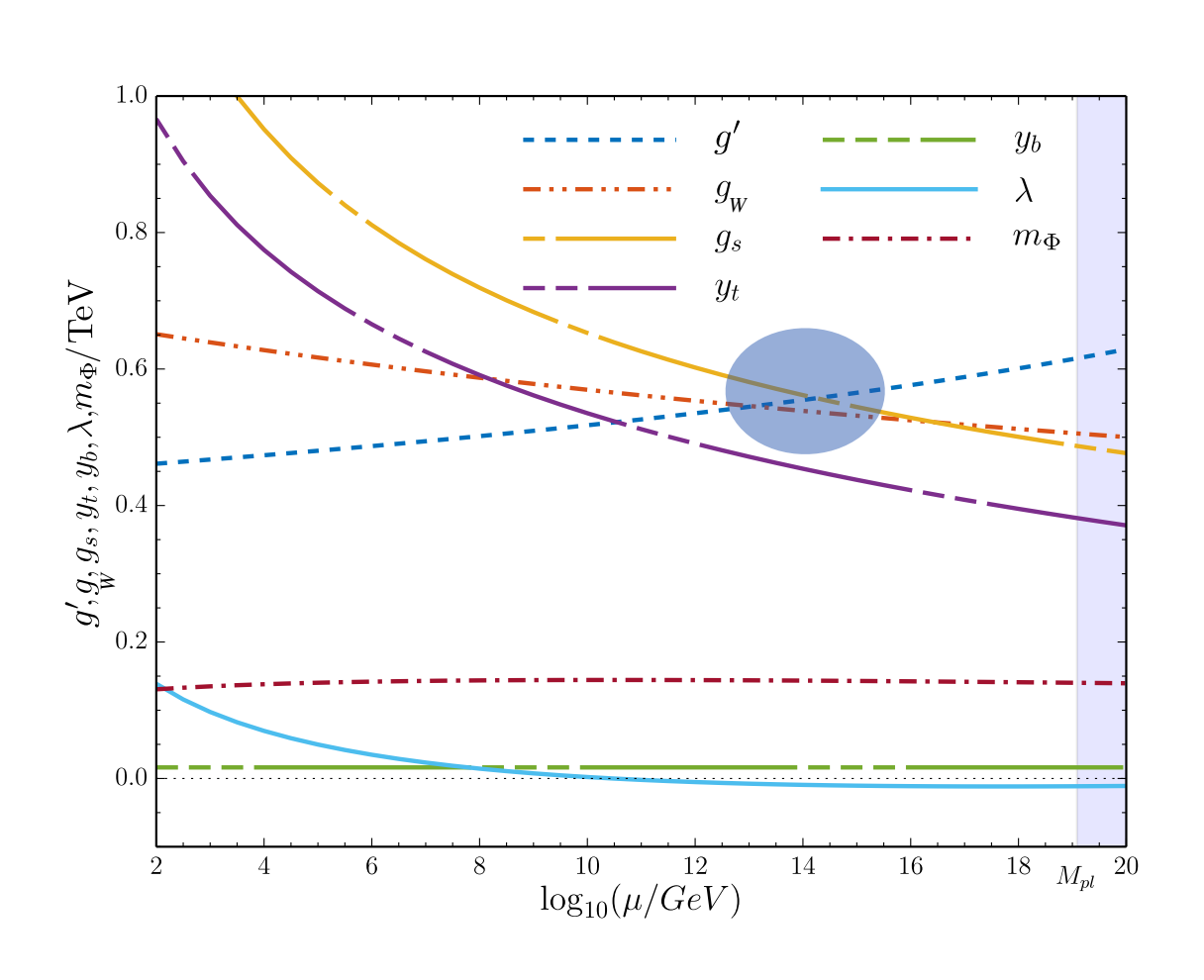
Существует множество моделей, выходящих за пределы СМ, которые позволяют решить те или иные проблемы (например, суперсимметрия, дополнительные измерения и пр)

Надеемся, что в конечном итоге эксперимент позволит с уверенностью сказать, какой из множества предложенных сценариев реализуется в Природе.

Что не обсудили?

- Важную роль радиационных поправок (старших порядков ТВ):
 - ⇒Связь измерений, сделанных в разных экспериментах
 - →Рождение и распад бозона Хиггса на БАК
- Проверку/подтверждение СМ в экспериментах:
 - → Наблюдаемые на LEP(2), SLC, Tevatron
 - →Обнаружение бозона Хиггса на БАК
- Богатую "флейворную" физику:
 - → Эффекты СР-нарушения
 - → Осцилляции нейтральных мезонов
 - → Редкие (FCNC) распады
- (Мета)стабильность вакуума СМ
- Сокращение киральных аномалий в СМ
 - ✓ Каждое поколение должно быть полным (кварки, лептоны)

Спасибо за внимание! Вопросы?





Дополнения...

Киральность и масса: общий случай

$$\mathcal{L}_D = i(\bar{\psi}_L \gamma^\mu \partial_\mu \partial \psi_L + \bar{\psi}_R \gamma^\mu \partial_\mu \psi_R)$$

$$-\frac{1}{2} \left[\begin{pmatrix} \bar{\psi}_L & \bar{\psi}_R^c \end{pmatrix} \begin{pmatrix} M_L & m_D \\ m_D & M_R \end{pmatrix} \begin{pmatrix} \psi_L^c \\ \psi_R \end{pmatrix} + \text{h.c.} \right]$$

$$m_{1,2} = \frac{M_R}{2} \left(1 + \frac{M_L}{M_R} \pm \sqrt{\left(1 - \frac{M_L}{M_R} \right)^2 + 4 \frac{m_D^2}{M_R^2}} \right)$$

Если $M_L = 0$, а $m_D \ll M_R$, то (механизм "качели"):

$$m_{1,2} \simeq \frac{M_R}{2} \left[1 \pm \left(1 + 2 \frac{m_D^2}{M_R^2} \right) \right] \Rightarrow m_1 \simeq M_R + \frac{m_D^2}{M_R}, \quad m_2 \simeq \frac{m_D^2}{M_R}$$

Зачем еще нужен хиггс?

• Мы уже встречались с проблемой унитарности, возникающей при рассмотрении процессов с участием массивных калибровочных бозонов. Проблема связана с рассеянием продольно поляризованных состояний

$$\epsilon_L = \frac{1}{m}(p_z, 0, 0, E) \rightarrow \frac{p_\mu}{m} + \mathcal{O}\left(\frac{m}{p_0}\right), \quad m \ll p_0 \approx |\vec{p}|$$

• В $W^+W^- \to W^+W^-$ мы имеем четыре W-бозона и вклада Z "не хватает", чтобы полностью решить проблему в этом процессе:

• Улучшить поведение амплитуды можно путем добавления нейтрального скалярного бозона Хиггса, взаимодействие которого с W подобрано таким образом, чтобы сократить растущие с энергией

вклады:

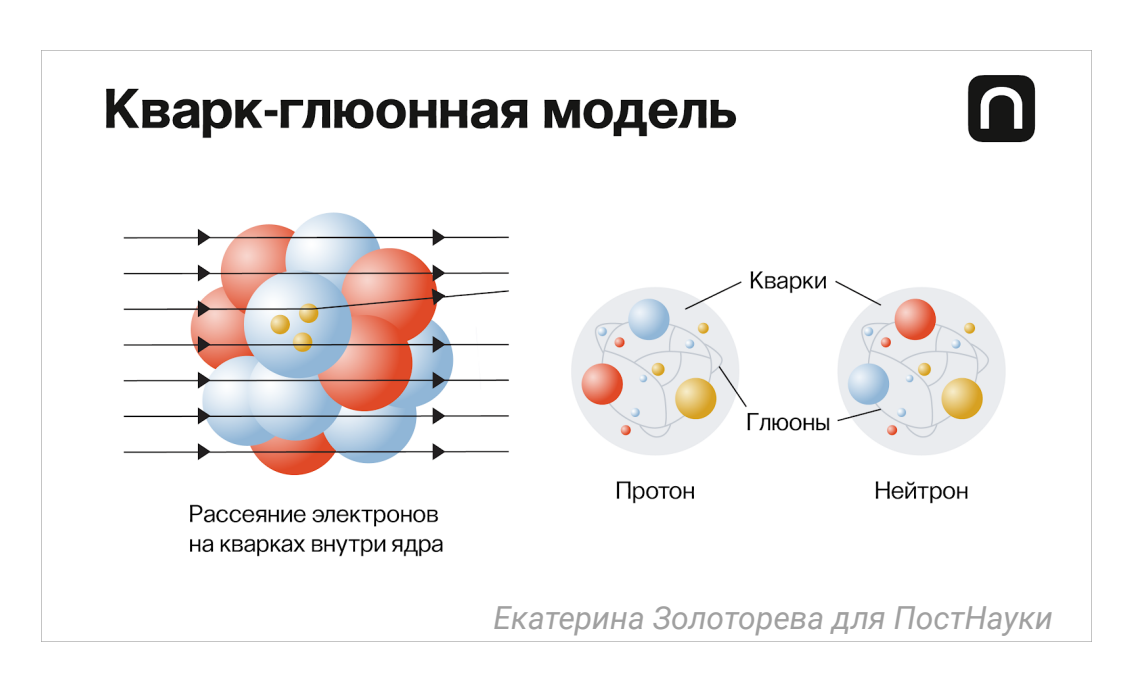
$$W^{+}_{W^{-}}$$
 H W^{+} W^{+} W^{+} W^{+} W^{+} W^{-} W^{-} W^{-} W^{-} W^{-} W^{-} W^{-} W^{-} W^{-} W^{-}





- Неотъемлемой частью СМ является квантовая хромодинамика калибровочная теория взаимодействия кварков и глюонов.
- Кто такие кварки?

Фермионы, несущие цветовой заряд "красные",
$$\Psi = \begin{pmatrix} q_r \\ q_b \\ q_g \end{pmatrix}$$
 "синие", "зеленые"



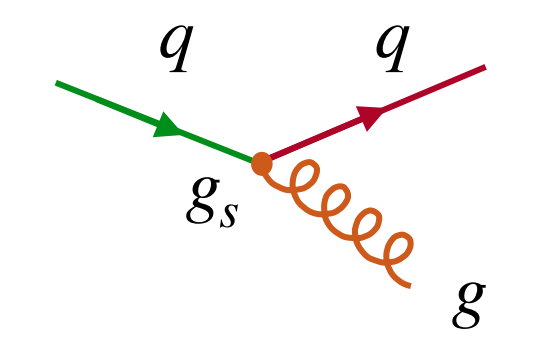
• Кто такие глюоны?

Калибровочные бозоны (аналоги фотона). Требование локальной инвариантности теории относительно SU(3) вращений цветных кварков (фундаментальное представление)

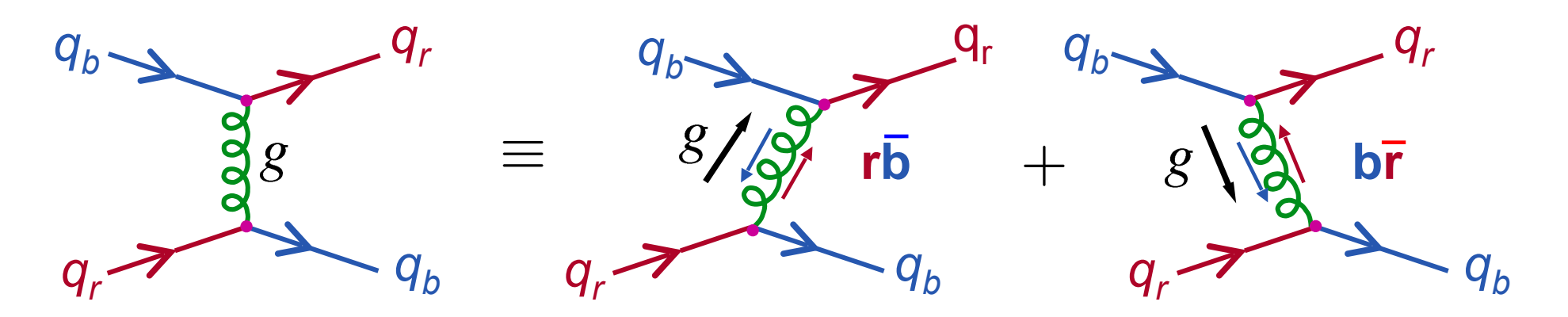
$$\Psi \rightarrow \Psi' = e^{ig_s\omega^a(x)t^a}\Psi$$

требует введения взаимодействия кварков с 8 глюонами G_{μ}^{a} :

$$\delta \mathcal{L} = -g_s(\bar{\Psi}\gamma_\mu t^a \Psi) G^a_\mu$$



• В КХД кварки взаимодействуют, обмениваясь глюонами



• Глюоны несут "цвет-антицвет" — присоединенное представление

$$\begin{array}{|c|c|c|c|c|} \hline \mathbf{r} \leftrightarrow \mathbf{b} & \lambda_1 = \begin{pmatrix} 0 & 1 & 0 \\ 1 & 0 & 0 \\ 0 & 0 & 0 \end{pmatrix} & \lambda_2 = \begin{pmatrix} 0 & -i & 0 \\ i & 0 & 0 \\ 0 & 0 & 0 \end{pmatrix} \\ \hline \mathbf{r} \leftrightarrow \mathbf{g} & \lambda_4 = \begin{pmatrix} 0 & 0 & 1 \\ 0 & 0 & 0 \\ 1 & 0 & 0 \end{pmatrix} & \lambda_5 = \begin{pmatrix} 0 & 0 & -i \\ 0 & 0 & 0 \\ i & 0 & 0 \end{pmatrix} \\ \hline \mathbf{b} \leftrightarrow \mathbf{s} & \lambda_6 = \begin{pmatrix} 0 & 0 & 0 \\ 0 & 0 & 1 \\ 0 & 1 & 0 \end{pmatrix} & \lambda_7 = \begin{pmatrix} 0 & 0 & 0 \\ 0 & 0 & -i \\ 0 & i & 0 \end{pmatrix}$$

$$\lambda_3 = \begin{pmatrix} 1 & 0 & 0 \\ 0 & -1 & 0 \\ 0 & 0 & 0 \end{pmatrix}$$

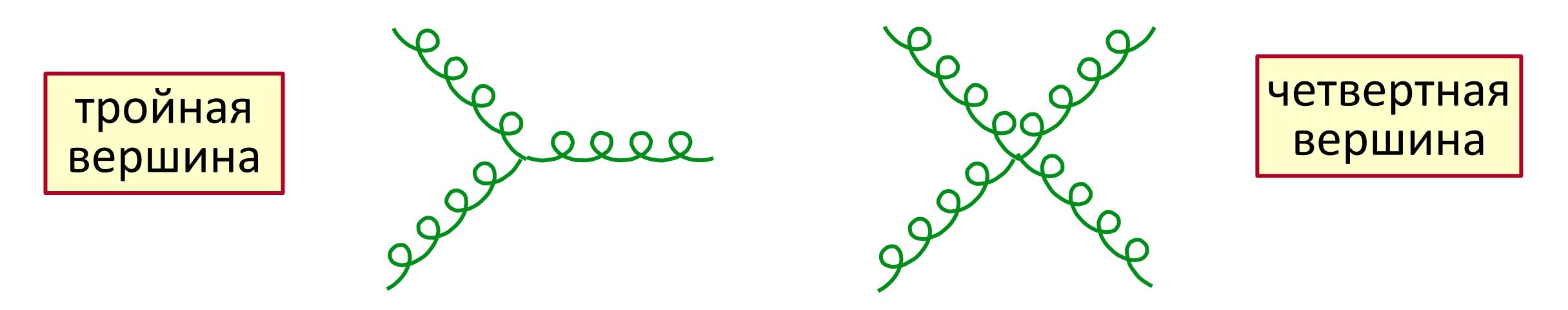
$$\lambda_8 = \frac{1}{\sqrt{3}} \begin{pmatrix} 1 & 0 & 0 \\ 0 & 1 & 0 \\ 0 & 0 & -2 \end{pmatrix}$$

Генераторы
$$t^a = \frac{\lambda^a}{2}$$
 - матрицы Гелл-Манна

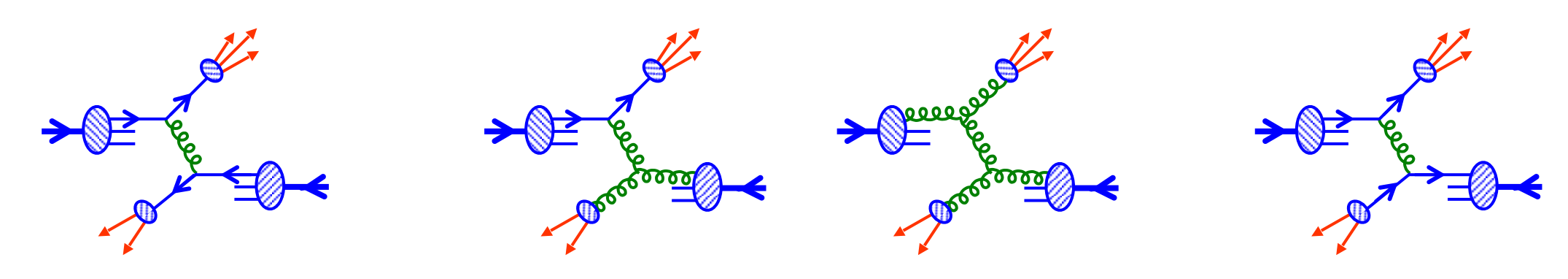
- В КЭД фотон не несет электрического заряда (нейтрален)
- В КХД глюоны заряжены и взаимодействуют друг с другом

$$\mathcal{L} = -\frac{1}{4}G^a_{\mu\nu}G^b_{\mu\nu}, \quad G^a_{\mu\nu} = \partial_{\mu}G^a_{\nu} - \partial_{\mu}G^a_{\nu} + g_s f^{abc}G^b_{\mu}G^c_{\nu}$$

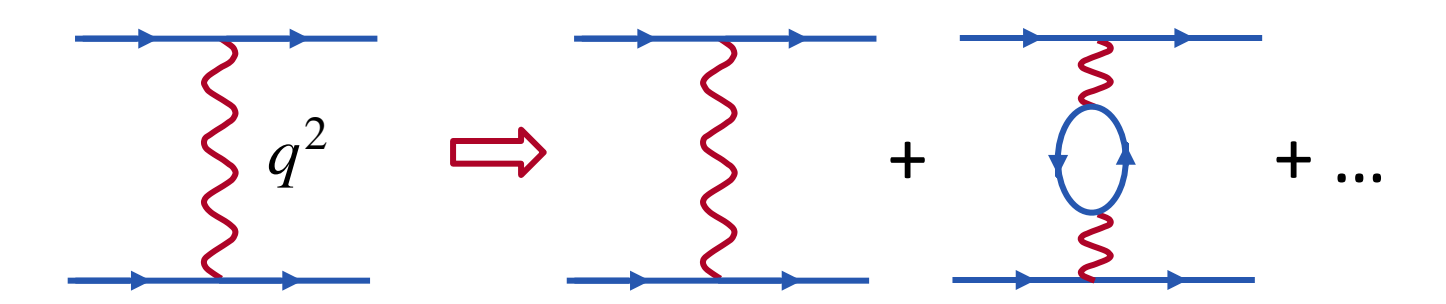
• Новые вершины взаимодействия (нет аналогов в КЭД)



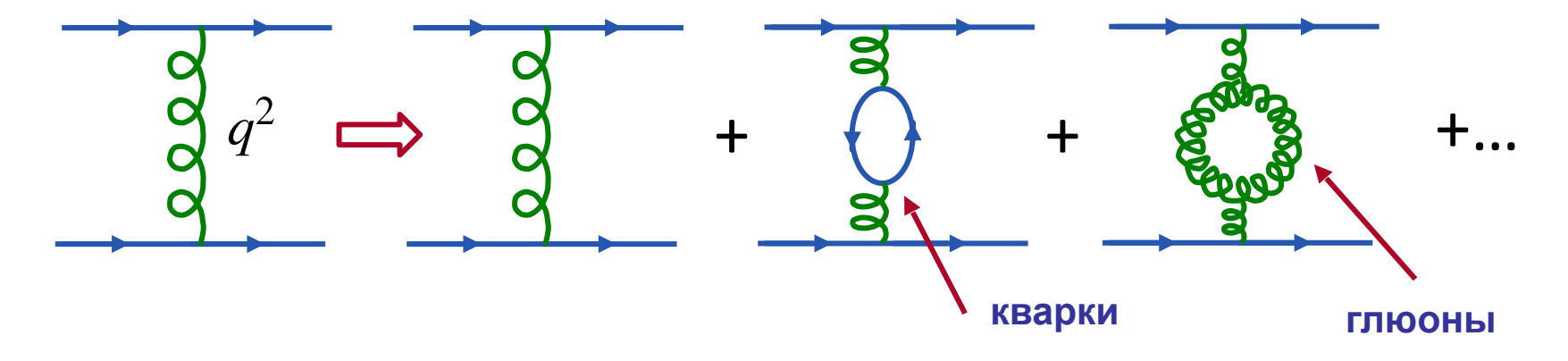
• Кроме рассеяния кварк-кварк предсказывается кварк-глюон и глюон-глюонное рассеяние:



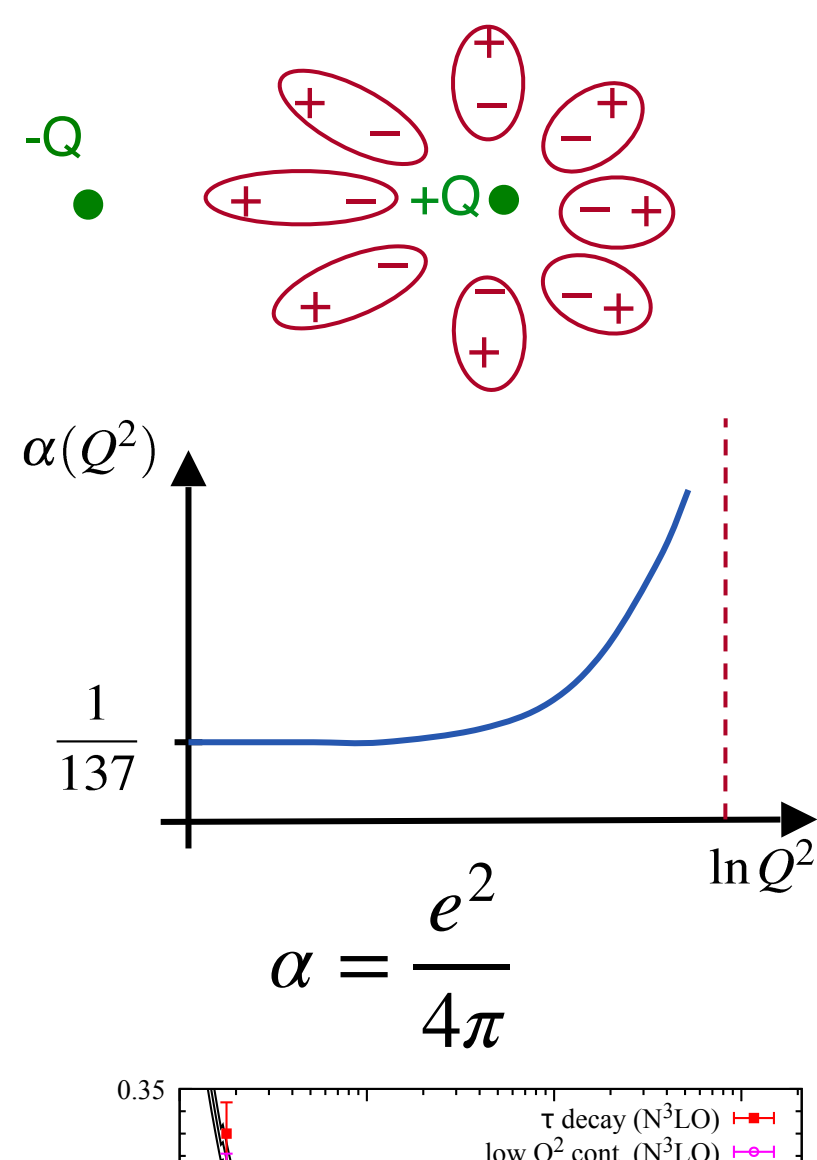
• В КЭД рождение виртуальных пар частица-античастица приводит к экранировке заряда

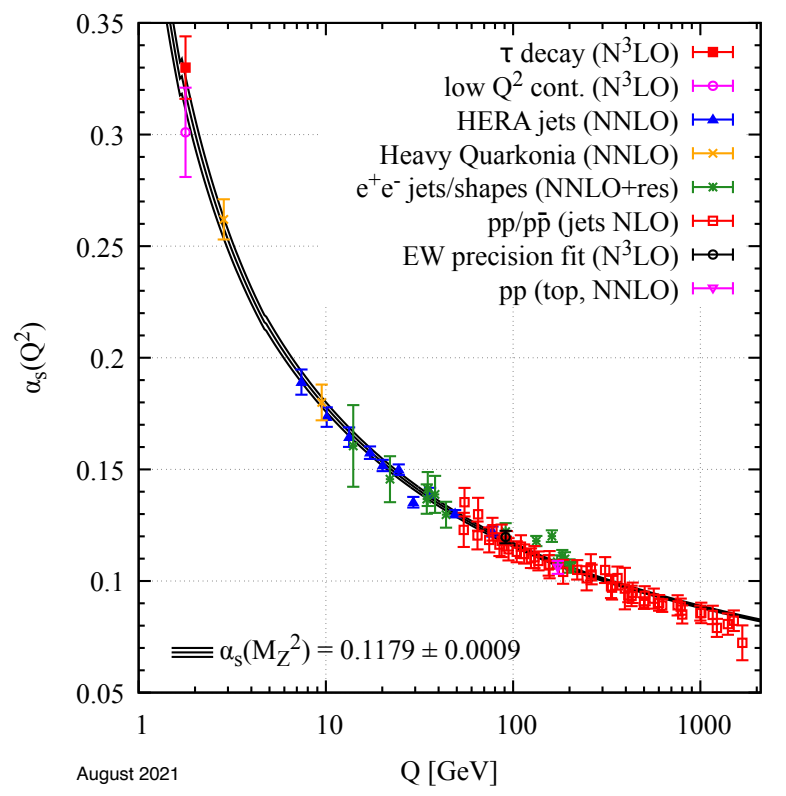


• В КХД самодействие глюонов приводит к антиэкранировке - заряд уменьшается с уменьшением масштаба (асимптотическая свобода)



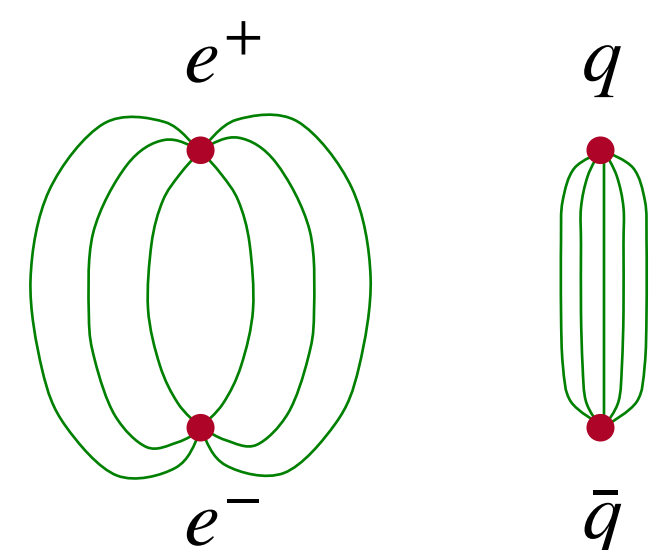
• Обратная сторона асимптотической свободы конфайнмент ("запертый цвет")

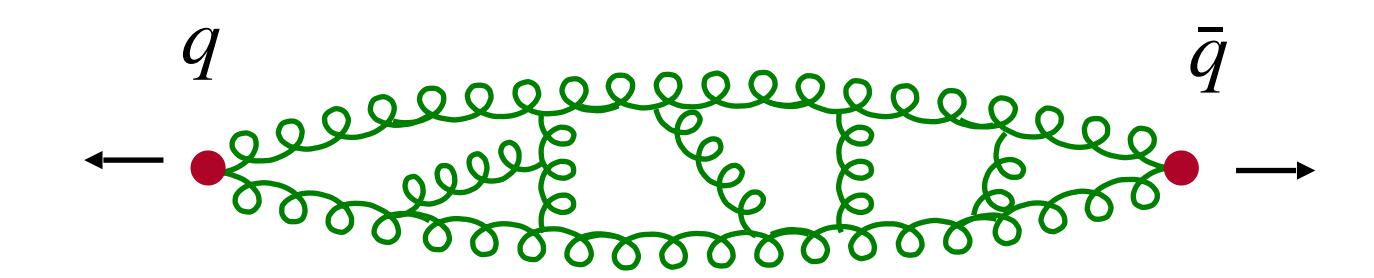




Самодействие глюонов и конфайнмент

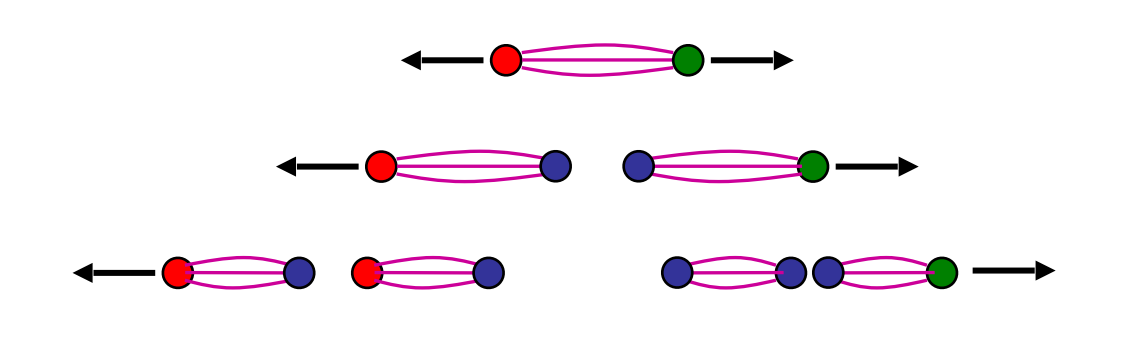
- Предполагается, что именно благодаря самодействию глюонов возникает конфайнмент
- Попытка разделить цветовые заряды, например qar q





$$\rightarrow$$
 $V(r) \sim \lambda r$

- •Цветные кварки и глюоны всегда заперты внутри бесцветных состояний
- •В процессах на коллайдерах при разлете релятивистских $q\bar{q}$ энергии запасенной в струне оказывается достаточно для рождения новых $q\bar{q}$



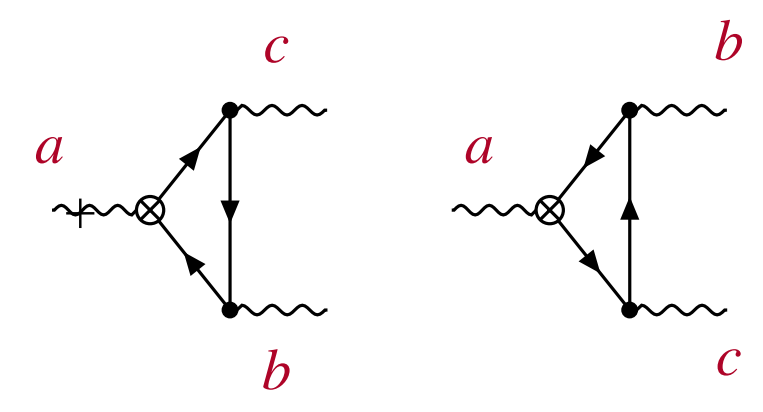
Киральные аномалии

•Квантовые аномалии соответствуют ситуациям, когда симметрии классического лагранжиана нарушаются на квантовом уровне

$$J_{\mu}^{A} = \bar{\Psi} \gamma_{\mu} \gamma_{5} \Psi, \quad \partial_{\mu} J_{\mu}^{5} = 2im \bar{\Psi} \gamma_{5} \Psi + \frac{\alpha}{2\pi} F_{\mu\nu} \tilde{F}_{\mu\nu}, \quad \tilde{F}_{\mu\nu} = 1/2 \epsilon_{\mu\nu\rho\sigma} F_{\rho\sigma}$$

- Если J_{μ}^{A} взаимодействует с калибровочным полем, то теория становится не самосогласованной.
- В СМ электрослабые взаимодействия различают левые и правые.

Аномалия $\sim \text{Tr}[t^a, \{t^b, t^c\}]_L - \text{Tr}[t^a, \{t^b, t^c\}]_R$



• В СМ вклады разных частиц в аномалии сокращаются между собой в рамках одного поколения

